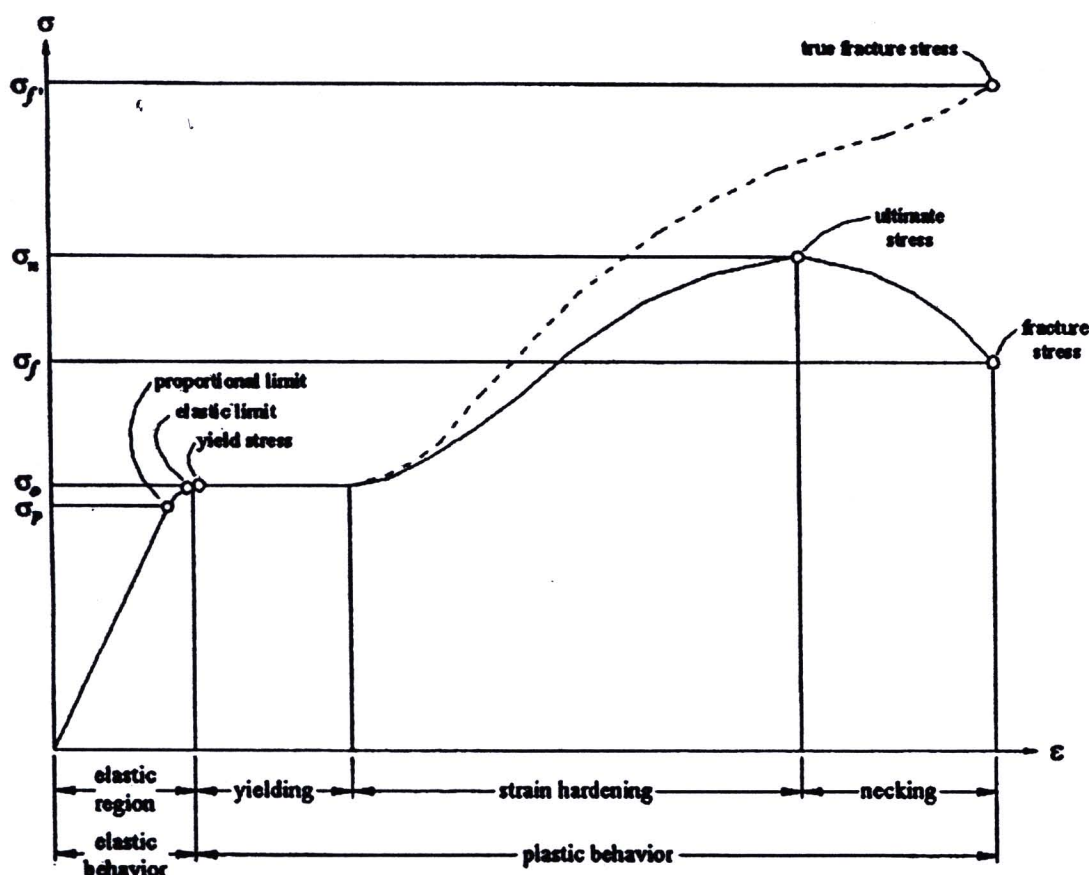


บทที่ 2 ทฤษฎีและงานวิจัยที่เกี่ยวข้อง

2.1 ทฤษฎีที่ใช้ในการวิเคราะห์

2.1.1 ทฤษฎีการเปลี่ยนรูปในช่วงยืดหยุ่น (Elastic Deformation)

ขณะที่วัสดุถูกแรงภายนอกกระทำ วัสดุจะเริ่มยืดขยายตัว ทำให้รูปร่างเปลี่ยนแปลงไปจากเดิม ช่วงแรกของการเปลี่ยนรูป เรียกว่า การเปลี่ยนรูปในช่วงพลาสติก ซึ่งในขณะที่มีแรงกระทำจะทำให้ วัสดุมีการเปลี่ยนรูป และถ้าลดแรงที่มากระทำจะทำให้วัสดุขาดกลับสภาพเดิมทันที (แรงที่มากระทำ ต้องไม่ทำให้ความเค้นมีค่าเท่ากับหรือมากกว่าความเค้นคราก σ_c ของวัสดุนั้น)



รูปที่ 2.1 พฤติกรรมการเปลี่ยนรูปของวัสดุ [5]

ความสัมพันธ์ระหว่างความเค้นและความเครียดในช่วงการเปลี่ยนรูปยืดหยุ่นจะเป็นในลักษณะเชิงเส้น การเพิ่มขึ้นของแรงกระทำจะทำให้เพิ่มความเครียดเป็นสัดส่วน ซึ่งหลักการนี้จะเป็นไปตามกฎของhook (Hook's Law) ดังสมการที่ 2.1

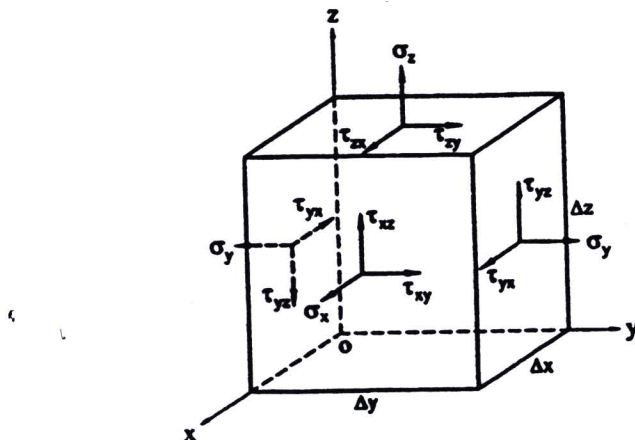
$$\sigma = E\epsilon \quad (2.1)$$

เมื่อ σ คือ ความดัน

E คือ ค่าโมดูลัสของความยืดหยุ่น (Young's Modulus)

ϵ คือ ค่าความเครียด

เมื่อพิจารณาสัดสูญบากที่มีขนาด dx, dy และ dz ดังรูปที่ 2.2



รูปที่ 2.2 สถานะของความดัน 3 มิติ [1]

จะเห็นว่าส่วนประกอบของเวกเตอร์ความดันในทิศทาง x, y และ z หรือ σ_x, σ_y และ σ_z ถ้ากำหนดให้พื้นที่แต่ละด้านมีขนาดเล็กมาก ดังนั้นแต่ละด้านจึงมีการเปลี่ยนแปลงน้อยมากเมื่อวัสดุอยู่ภายใต้สถานะสมดุลรอบแกน z ดังนั้น $\tau_{xy} = \tau_{yx}$ และในทำนองเดียวกัน $\tau_{yz} = \tau_{zy}$ และ $\tau_{xz} = \tau_{zx}$ จากรูปที่ 2.2 เมื่อนำความดันที่เกิดขึ้นทั้งหมด 9 ค่ามาเขียนเป็นสมการที่อยู่ในรูปของเทนเซอร์ความดัน (Stress Tensor) ได้ดังนี้

$$\sigma_y = \begin{bmatrix} \sigma_x & \tau_{xy} & \tau_{xz} \\ \tau_{yx} & \sigma_y & \tau_{yz} \\ \tau_{zx} & \tau_{zy} & \sigma_z \end{bmatrix} \quad (2.2)$$

ความดันในแนวตั้งจากกับพื้นผิวเรียกว่าความดันหลัก (Principal Stress) เมื่อความดันเหลือนี้ค่าเท่ากับศูนย์ และเรียกรอบนาที่ความดันเหลือนี้มีค่าเท่ากับศูนย์นี้ว่ารอบนาหลัก ดังนั้นแทนเชอร์ความดันหลักสามารถเขียนได้ดังนี้

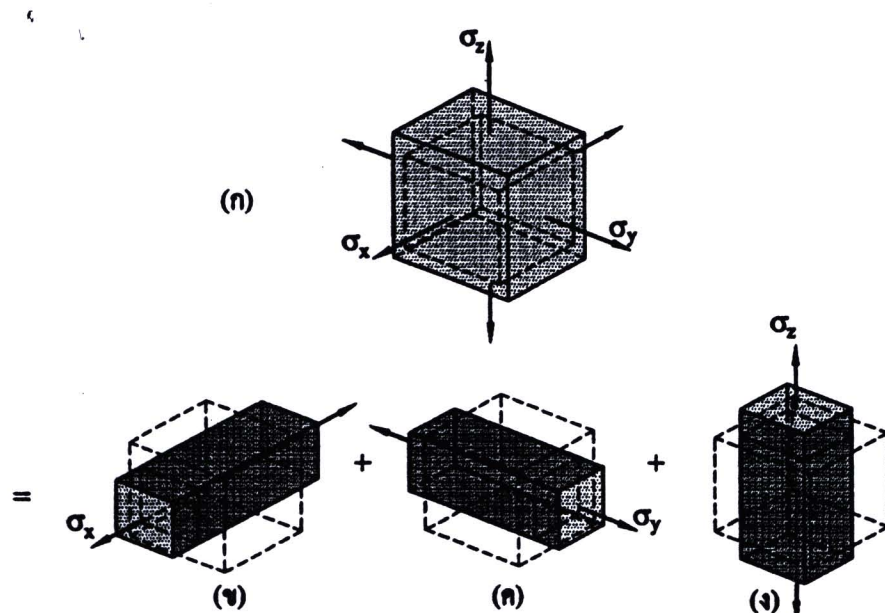
$$\sigma_y = \begin{bmatrix} \sigma_x & 0 & 0 \\ 0 & \sigma_y & 0 \\ 0 & 0 & \sigma_z \end{bmatrix} \quad (2.3)$$

เมื่อ σ_x, σ_y และ σ_z คือความดันหลัก

เมื่อวัสดุมีการเปลี่ยนรูปร่างเนื่องจากถูกแรงดึงกระทำตามแนวแกน ไม่เพียงแต่จะเกิดการยืดตัวในทางด้านยาวเท่านั้น ยังเกิดการหดตัวทางด้านข้างด้วยอัตราส่วนความเครียดตามแนวแกน และด้านข้างจะมีอัตราส่วนคงที่ เรียกอัตราส่วนนี้ว่า อัตราส่วนของปัวซอง (Poisson's Ratio) ดังสมการที่ 2.4

$$\nu = \frac{\varepsilon_y}{\varepsilon_x} = -\frac{\varepsilon_z}{\varepsilon_x} \quad (2.4)$$

เมื่อร่วมความเครียดในแต่ละทิศทางเข้าด้วยกัน จะได้ความสัมพันธ์ระหว่างความดันและความเครียด ในปัญหา 3 มิติ ดังรูปที่ 2.3 คือ



รูปที่ 2.3 วัสดุที่ถูกความดันกระทำใน 3 ทิศทางที่ตั้งฉากกัน [1]

$$\varepsilon_1 = \frac{1}{E} [\sigma_1 - \nu(\sigma_2 + \sigma_3)] \quad (2.5a)$$

$$\varepsilon_2 = \frac{1}{E} [\sigma_2 - \nu(\sigma_1 + \sigma_3)] \quad (2.5b)$$

$$\varepsilon_3 = \frac{1}{E} [\sigma_3 - \nu(\sigma_1 + \sigma_2)] \quad (2.5c)$$

เมื่อพิจารณาความดันเฉือน

$$\gamma_{xy} = \frac{\tau_{xy}}{G} \quad (2.6a)$$

$$\gamma_{yz} = \frac{\tau_{yz}}{G} \quad (2.6b)$$

$$\gamma_{zx} = \frac{\tau_{zx}}{G} \quad (2.6c)$$

เมื่อ γ คือ ความเครียดเนื้อน

τ คือ ความเคนเนื้อน

G คือ โมดูลัสเนื้อนของวัสดุ (Modulus of Rigidity) ซึ่ง $G = \frac{E}{2(1+\nu)}$

อย่างไรก็ตามสามารถหาความเคนจากของปัญหาสามมิติได้จากความเครียดจาก ดังนี้

$$\sigma_x = \frac{E}{1+\nu^2} [\varepsilon_x + \nu(\varepsilon_y + \varepsilon_z)] \quad (2.7a)$$

$$\sigma_y = \frac{E}{1+\nu^2} [\varepsilon_y + \nu(\varepsilon_x + \varepsilon_z)] \quad (2.7b)$$

$$\sigma_z = \frac{E}{1+\nu^2} [\varepsilon_z + \nu(\varepsilon_x + \varepsilon_y)] \quad (2.7c)$$

2.1.2 ความเคน – ความเครียดเฉลี่ยและเบี่ยงเบน

เมื่อวัสดุเกิดแรงกระทำจะทำให้เกิดความเคนและความเครียดขึ้น ความเคนที่เกิดขึ้นในเนื้อวัสดุสามารถแยกออกเป็นความเครียดเฉลี่ย (Mean Stress) หรือความเคนไฮdrostatic (Hydrostatic Stress) และความเคนเบี่ยงเบน (Deriatomic Stress) ความเคนเฉลี่ยจะทำให้วัสดุเปลี่ยนรูปได้ในสภาวะถาวรสติกเท่านั้น ซึ่งความเคนชนิดนี้จะมีขนาดเท่ากันทุกทิศทาง ซึ่งสามารถเขียน เป็นสมการ ที่ 2.8 ดังนี้

$$\sigma_m = \frac{\sigma_{kk}}{3} = \frac{\sigma_x + \sigma_y + \sigma_z}{3} = \frac{\sigma_1 + \sigma_2 + \sigma_3}{3} \quad (2.8)$$

หรือ σ'_{ij} จะเป็นความเคนที่ทำให้เกิดการเปลี่ยนรูปภายในเนื้อวัสดุ เมื่อร่วมความเคนทั้งสองเข้าไว้ด้วยกัน ดังนั้นสมการความเคนรวมในรูปของแทนเชอร์ เป็นดังนี้

$$\sigma_{ij} = \sigma'_{ij} + \delta_{ij} \sigma_m \quad (2.9)$$

ดังนั้นความเคนเบี่ยงเบนคือ

$$\sigma'_{ij} = \sigma_{ij} - \delta_{ij}\sigma_m \quad (2.10)$$

เมื่อ δ_{ij} คือ โครเนกแคร์เดลต้า (Kronecker Delta)

$$\delta_{ij} = \begin{bmatrix} 1 & 0 & 0 \\ 0 & 1 & 0 \\ 0 & 0 & 1 \end{bmatrix} = \begin{cases} 1 & i=j \\ 0 & i \neq j \end{cases} \quad (2.11)$$

ถ้า $i = j$ ทำให้ σ_{ij} มีค่าเท่ากับหนึ่ง และ $i \neq j$ ทำให้ σ_{ij} มีค่าเท่ากับศูนย์ ในสภาวะความเด่นสามมิติ วัสดุจะมีปริมาตรเท่ากับ $(1 + \varepsilon_x)(1 + \varepsilon_y)(1 + \varepsilon_z)dx dy dz$ และปริมาตรที่เปลี่ยนไปจากเดิมคือ

$$\delta V = (1 + \varepsilon_x)(1 + \varepsilon_y)(1 + \varepsilon_z)dx dy dz - dx dy dz \quad (2.12)$$

ปริมาตรที่เปลี่ยนแปลงต่อปริมาตรเดิมเรียกว่าความเครียดเชิงปริมาตร (Volumetric Strain) หรือ Δ มีค่าเท่ากับ

$$\Delta = \frac{\delta V}{V} = \varepsilon_x + \varepsilon_y + \varepsilon_z \quad (2.13)$$

ดังนั้นความเครียดเฉลี่ยคือ

$$\varepsilon_m = \frac{\varepsilon_x + \varepsilon_y + \varepsilon_z}{3} = \frac{\varepsilon_1 + \varepsilon_2 + \varepsilon_3}{3} = \frac{\Delta}{3} \quad (2.14)$$

ส่วนความเครียดที่ทำให้เกิดการเปลี่ยนรูปวัสดุหรือความเครียดเบี่ยงเบนคือ

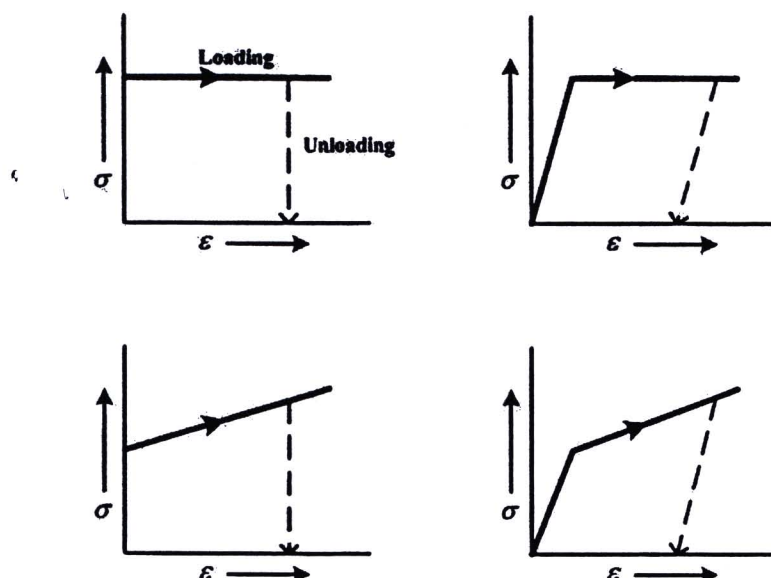
$$\varepsilon'_{ij} = \varepsilon_{ij} + \varepsilon_m \quad (2.15)$$

$$= \varepsilon_{ij} - \frac{\Delta}{3} \delta_{ij} \quad (2.16)$$

- เมื่อ ε'_{ij} คือ ความเครียดเบี่ยงเบน
- ε_m คือ ความเครียดเฉลี่ย
- ε_{ij} คือ เทคนเซอร์ความเครียด

2.1.3 ทฤษฎีในการเปลี่ยนรูปถาวรหรือในช่วงพลาสติก (Plastic Deformation)

ในการขึ้นรูปวัสดุโลหะแผ่นให้เป็นไปตามที่ต้องการนั้น จะต้องให้แรงกระทำเพื่อให้วัสดุเปลี่ยนรูปร่างอย่างถาวร โดยที่ความก dein ที่เกิดขึ้นจะต้องมากกว่าความก dein ครากตัว ซึ่งเป็นจุดเริ่มต้นที่จะทำให้วัสดุเปลี่ยนรูปร่างอย่างถาวร ผลจากการทดสอบการถึงจะพบพฤติกรรมของวัสดุแบ่งได้เป็นสองช่วงอย่างชัดเจนคือช่วงยืดหยุ่นและช่วงเปลี่ยนรูปอย่างถาวรหรือช่วงพลาสติก พฤติกรรมเหล่านี้นิยมกันหลายรูปแบบ ซึ่งสามารถแสดงด้วยแบบจำลอง (Model) ของความสัมพันธ์ระหว่างความก dein และความเครียดดังรูปที่ 2.1



รูปที่ 2.4 แบบจำลองพฤติกรรมระหว่างความก dein และความเครียดของวัสดุ [6]

การพิจารณาการเปลี่ยนรูปจะใช้เกณฑ์การคราก (Yield Criterion) เป็นเกณฑ์ที่จะกำหนดการเปลี่ยนรูปจากคลาสติกไปเป็นพลาสติก ทฤษฎีพื้นฐานที่นิยมใช้ในการคำนวณครากตัวของโลหะแผ่นคือ ทฤษฎีความก dein เสื่อมสูงสุด ทฤษฎีฟอนมิเชส (Von Mises Theory) และทฤษฎีของชิล (Hill Theory) ในส่วนของทฤษฎีความก dein เสื่อมสูงสุดและทฤษฎีฟอนมิเชสจะมีข้อสมมติฐานว่าวัสดุมีคุณสมบัติทางกลเท่ากันทุกทิศทาง (Isotropy) ส่วนของทฤษฎีของชิลจะพิจารณาอิทธิพลของโลหะที่ผ่านการรีด (Anisotropy) ในการใช้เกณฑ์การครากสำหรับการวิเคราะห์ชิ้นงานนี้จะใช้ทฤษฎีการครากของชิล ทฤษฎีนี้เน้นจะสำหรับวัสดุโลหะแผ่นที่มีคุณสมบัติแอนิโอโซทรอปิก

1. การคราก

เมื่อวัสดุได้รับแรงกระทำจนกระทั่งความก dein ที่เกิดขึ้นนั้นผ่านจุดครากวัสดุจะอยู่ในช่วงพลาสติก ในขณะที่สามารถใช้เกณฑ์การครากซึ่งมีความสัมพันธ์ดังนี้

$$f\{\sigma\} = \text{Constant} \quad (2.17)$$

ความเด่นคราก (σ_0) นั้นจะเป็นความเด่นในช่วงเริ่มต้นของช่วงพลาสติก ซึ่งในงานขีณรูปโลหะจะให้ความสำคัญค่อนข้างมาก เมื่อความเด่นที่เกิดขึ้นมากกว่าความเด่นคราก วัสดุจะเริ่มการเปลี่ยนรูปอย่างถาวร ผลของแรงกระทำที่ทำให้วัสดุเปลี่ยนรูปอย่างถาวรจะพิจารณาจากความเด่นเบี้ยงเบน ซึ่งสามารถอธิบายได้ในเทอมของ $f(J_2, J_3) = \text{Constant}$ ดังนี้

$$J_2 = \frac{1}{6} [(\sigma_1 - \sigma_2)^2 + (\sigma_2 - \sigma_3)^2 + (\sigma_3 - \sigma_1)^2] \quad (2.18)$$

$$J_3 = \sigma_1\sigma_2\sigma_3 + \frac{1}{27}(\sigma_1 + \sigma_2 + \sigma_3)[2(\sigma_1 + \sigma_2 + \sigma_3)^2 - 9(\sigma_1\sigma_2 + \sigma_2\sigma_3 + \sigma_1\sigma_3)^2] \quad (2.19)$$

เมื่อ J_2 และ J_3 คือค่าดับที่สองและสามของความเด่นเบี้ยงเบน

2. ทฤษฎีความเด่นเฉือนสูงสุด

ทฤษฎีความเด่นเฉือนสูงสุดหรือทฤษฎีการครากของเทรสกา (Tresca Yield Theory) ซึ่งกล่าวไว้ว่า วัสดุจะเกิดการครากเมื่อความเด่นเฉือนสูงสุดมีค่าเท่ากับความเด่นเฉือนสูงสุดที่ได้จากการทดสอบด้วยวิธีความเด่นเฉือนบริสุทธิ์ (Pure Shear) ในที่นี่กำหนดให้ k มีค่าเท่ากับความเด่นเฉือนสูงสุดที่ได้จากการทดสอบการดึง ซึ่ง $\sigma_1 = \sigma_0, \sigma_2 = \sigma_3 = 0$ ดังนั้น ความเด่นเฉือนสูงสุดของวัสดุคือ

$$\tau_{\max} = \frac{|\sigma_1 - \sigma_2|}{2} = \frac{|\sigma_2 - \sigma_3|}{2} = \frac{|\sigma_3 - \sigma_1|}{2} = \frac{\sigma_0}{2} = k \quad (2.20)$$

ดังนั้น

$$k = \frac{\sigma_0}{2} \quad (2.21)$$

ดังนั้นจะเห็นได้ว่าความเด่นเฉือนสูงสุดที่จะทำให้วัสดุเริ่มครากเท่ากับครึ่งหนึ่งของความเด่นคราก วัสดุทดสอบ

3. ทฤษฎีของฟอนมิเชส

ทฤษฎีของฟอนมิเชสหรือเริกอิกชื่อหนึ่งว่าทฤษฎีพลังงานแปรรูป (Distortion Energy Theory) ซึ่งฟอนมิเชสได้เสนอว่าการครากจะเกิดขึ้น เมื่อพลังงานแปรรูปภายในวัสดุภายในวัสดุทำให้แรงกระทำมีค่าเท่ากับพลังงานแปรรูปจากการทดสอบแรงดึงของวัสดุทดสอบ ซึ่งก็คือค่าความเด่นเบี้ยงเบนอันดับสอง J_2

$$\text{ซึ่ง } J_2 = k^2$$

$$J_2 = \frac{1}{6} [(\sigma_1 - \sigma_2)^2 + (\sigma_2 - \sigma_3)^2 + (\sigma_3 - \sigma_1)^2] \quad (2.22)$$

ในกรณีของชิ้นงานทดสอบที่ได้รับแรงดึง $\sigma_1 = \sigma_0, \sigma_2 = \sigma_3 = 0$

$$J_2 = \frac{1}{6} (\sigma_0^2 + \sigma_0^2) = k^2 \quad (2.23)$$

$$\sigma_0 = \sqrt{3}k \quad (2.24)$$

เมื่อ σ_0 คือ ความเด่นคราก

k คือ ความเด่นเนื่องสูงสุดที่ได้จากการทดสอบแรงดึง

สำหรับวัสดุทดสอบที่ได้รับแรงเฉือนเพียงอย่างเดียว $\tau = \sigma_1 = -\sigma_3, \sigma_2 = 0$ เมื่อแทนค่าลงในสมการที่ (2.22) จะได้สมการการครากคือ

$$\sigma_1^2 + \sigma_1^2 + 4\sigma_1^2 = 6k \quad (2.25)$$

$$\sigma_1 = k \quad (2.26)$$

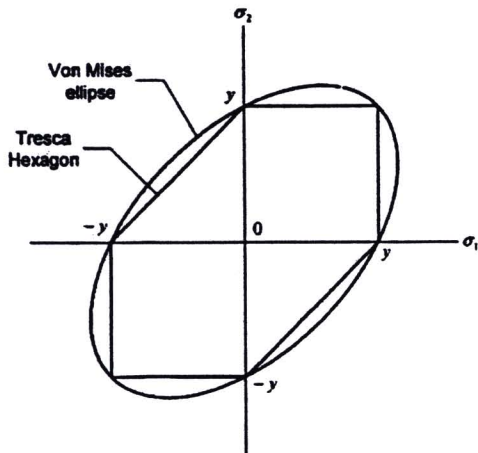
จากสมการที่ (2.24) และ (2.26) จึงสามารถหาค่า k ได้คือ

$$k = \frac{\sigma_0}{\sqrt{3}} = \sigma_1 \quad (2.27)$$

จาก $J_2 = k^2$ สามารถจัดสมการที่ (2.22) และ (2.27) ได้ใหม่คือ

$$\sigma_0 = \frac{1}{\sqrt{2}} [(\sigma_1 - \sigma_2)^2 + (\sigma_2 - \sigma_3)^2 + (\sigma_3 - \sigma_1)^2]^{\frac{1}{2}} \quad (2.28)$$

จะเห็นได้ว่าการครากจะเกิดขึ้นเมื่อความเด่นมีค่าเท่ากับ $\frac{1}{\sqrt{3}}$ เท่าของความเด่นครากที่ได้จากการทดสอบวัสดุ เมื่อเปรียบเทียบทฤษฎีทั้งสองโดยพิจารณาจากรูปที่ 2.5 ซึ่งแสดงกรอบการแตกหักของวัสดุพบว่าทฤษฎีของฟอนมิเชลให้ผลการทำนายการครากใกล้เคียงมากกว่าทฤษฎีความเด่นเนื่องสูงสุดสำหรับงานขี้นรูปโลหะแผ่น



รูปที่ 2.5 เปรียบเทียบกรอบการแตกหัก [6]

4. กฎภูมิของอัล

กฎภูมิการครากของอัลจะพิจารณาคุณสมบัติแอนไโอโซกรอปิกเข้าไว้ด้วยกัน ซึ่งเป็นคุณสมบัติทางกลอย่างหนึ่งของวัสดุโลหะแผ่นที่ผ่านกรรมวิธีการรีด สมมุติฐานของอัลคือวัสดุเป็นเนื้อสม่น้ำเสมอและสมมาตรกัน ซึ่งอัลได้สร้างสมการการครากไว้ดังนี้

$$F(\sigma_y - \sigma_z)^2 + G(\sigma_z - \sigma_x)^2 + H(\sigma_x - \sigma_y)^2 + 2L\tau_{yz}^2 + 2M\tau_{zx}^2 + 2N\tau_{xy}^2 = 1 \quad (2.29)$$

เมื่อ F, G, H, L, M และ N คือค่าคงตัวซึ่งเป็นคุณลักษณะของวัสดุในแต่ละทิศทาง เมื่อพิจารณาในเทอมของความเค้นหลักจะได้

$$F(\sigma_2 - \sigma_3)^2 + G(\sigma_3 - \sigma_1)^2 + H(\sigma_1 - \sigma_2)^2 = 1 \quad (2.30)$$

- | | | |
|-------------|-----|------------------------------|
| ถ้ากำหนดให้ | X | คือ ความเค้นครากในทิศทาง x |
| | Y | คือ ความเค้นครากในทิศทาง y |
| | Z | คือ ความเค้นครากในทิศทาง z |

เมื่อทดสอบแรงดึงในทิศทาง x ดังนั้น $\sigma_1 = X, \sigma_2 = \sigma_3 = 0$ เมื่อแทนลงในสมการที่ (2.30) จะได้

$$X^2 = \frac{1}{G + H} \quad (2.31)$$

ดังนั้นสภาวะการครากจะได้ดังนี้

$$X^2 = \frac{F}{G+H}(\sigma_2 - \sigma_3)^2 + \frac{G}{G+H}(\sigma_1 - \sigma_3)^2 + \frac{H}{G+H}(\sigma_1 - \sigma_2)^2 \quad (2.32)$$

ในทำนองเดียวกันเมื่อทดสอบการดึงในทิศทาง y และ z จะได้

$$Y^2 = \frac{1}{H+F} \quad (2.33)$$

$$Z^2 = \frac{1}{F+G} \quad (2.34)$$

Lubahn,J.D. และ Felgar, R.P.[5] ได้เสนอการคำนวณหาพฤติกรรมของวัสดุในแต่ละทิศทางการรีดโดยพิจารณาบนความเดี่ยวนานา (Plane Stress) ซึ่ง σ_3 เกิดขึ้นน้อยมากจนสามารถตัดออกไปได้ดังนั้นสมการที่ (2.30) สามารถเขียนใหม่ได้ดังนี้

$$F\sigma_2^2 + G\sigma_1^2 + H(\sigma_1^2 - 2\sigma_1\sigma_2 + \sigma_2^2)^2 = 1 \quad (2.35)$$

หรือ

$$(G+H)\sigma_1^2 + (F+H)\sigma_2^2 - 2H\sigma_1\sigma_2 = 1 \quad (2.36)$$

เมื่อแทนค่าสมการที่ (2.31) และ (2.33) ลงใน (2.36) จะได้

$$\left(\frac{\sigma_1}{X}\right)^2 + \left(\frac{\sigma_2}{Y}\right)^2 - 2HY\left(\frac{\sigma_1\sigma_2}{XY}\right) = 1 \quad (2.37)$$

เพื่อความสะดวกกำหนดให้ความเดี่ยวนานาของโลหะแผ่นมีค่าเท่ากันนั่นคือ $X = Y$ ดังนั้น

$$\sigma_1^2 + \sigma_2^2 - 2HY^2\sigma_1\sigma_2 = Y^2 \quad (2.38)$$

และจากสมการที่ (2.18) จะได้

$$G = F = \frac{1}{2Z^2} \text{ และ } HY^2 = 1 - \frac{1}{2}\left(\frac{Y}{Z}\right)^2 \quad (2.39)$$

ในการหาความเดี่ยวนานาในทิศทางตามความหนาของแผ่นโลหะหรือค่า Z กระทำได้ยาก ดังนั้นจึงใช้สภาวะแผลล้มในการหาค่า R หรือ อัตราส่วนความเครียดพลาสติก (Plastic Strain Ratio) ซึ่งเป็นอัตราส่วนความเครียดด้านกว้างต่อความเครียดด้านหนา ดังนี้ [7]

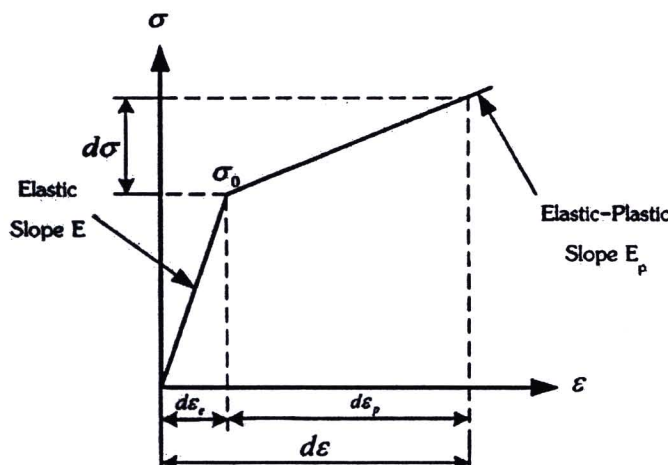


$$R = \frac{\ln\left(\frac{w_0}{w}\right)}{\ln\left(\frac{t_0}{t}\right)} \quad (2.40)$$

จาก $\left(\frac{Z}{Y}\right)^2 = \frac{1}{2}(1+R)$ ดังนั้นกรอบการครากของชิ้น สามารถแสดงได้ดังนี้

$$\sigma_1^2 + \sigma_2^2 - \frac{2R}{1+R} \sigma_1 \sigma_2 = Y^2 \quad (2.41)$$

2.1.4 ความเครียดแข็ง



รูปที่ 2.6 พฤติกรรมความเครียดแข็งของวัสดุ [6]

เมื่อวัสดุเกิดการเปลี่ยนรูปอย่างถาวร เช่น วัสดุโลหะแผ่นผ่านการขึ้นรูป นิ่อวัสดุจะเกิดความเครียดขึ้น ความเครียดในนิ่อวัสดุจะเกิดการสะสมทำให้ต้องใช้แรงมากกว่าเดิมเพื่อให้วัสดุเปลี่ยนรูปร่าง สำหรับวัสดุที่มีพฤติกรรมแบบอลิاستิก-พลาสติก โดยในส่วนของอลิاستิกใช้สมการของชูกและ ส่วนของพลาสติกใช้สมการของราส (Reuss) สามารถเขียนเป็นสมการได้ดังนี้

$$\varepsilon = \varepsilon^E + \varepsilon^P \quad (2.42)$$

หรือ

$$\varepsilon = \frac{\sigma}{E} + \varepsilon^P \quad (2.43)$$

สำนักงานคณะกรรมการวิจัยแห่งชาติ
ที่ 27 ห้องสมุดวิจัย
วันที่ 27 มิ.ย. 2555
เลขที่เบียน..... 247094
เลขเรียกหนังสือ.....

สำหรับการวิเคราะห์ประดิ่นปัญหาการขึ้นรูปโลหะนี้จะเป็นไปตามกฎของโอลลอมอน (Hollowmon's Law) ตั้งสมการที่ (2.44)

$$\sigma = K\varepsilon^n \quad (2.44)$$

เมื่อ K คือ สัมประสิทธิ์ความแข็งของวัสดุ (Strength Coefficient)

n คือ เลขยกกำลังของความเครียดแข็ง (Strain Hardening Exponent)

2.1.5 ความเสียดทาน

สำหรับความเสียดทานที่เกิดขึ้นจากการขึ้นรูปโลหะจะเป็นไปตามกฎของคูลอมบ์ (Coulomb's Law) ซึ่งอธิบายอยู่ในรูปของ $F_F = \mu F_N$ เมื่อ F_F คือแรงเสียดทาน, μ คือค่าสัมประสิทธิ์ความเสียดทาน และ F_N คือแรงกระทำในทิศทางตั้งฉากกับชิ้นงานหรือเขียนได้อีกอย่างคือ

$$\tau_F = \mu\sigma_N \quad (2.45)$$

เมื่อ τ_F คือ ความเค้นเสียดทาน

σ_N คือ ความเค้นที่กระทำในทิศทางตั้งฉากกับชิ้นงาน

2.2 การลากขึ้นรูป (Drawing) [7]

การลากขึ้นรูป เป็นกรรมวิธีการขึ้นรูปโลหะแผ่นวิธีหนึ่ง โดยพันช์กดแผ่นโลหะแบนให้ไหลเข้าไปในช่องเปิดของด้วย เพื่อทำให้เกิดรูปทรงกลวงที่ไม่มีตะเข็บ เช่น ถ้วยกรวย กล่องหรือรูปทรงต่างๆ ที่คล้ายคลึงกับที่กล่าวมาแล้ว เป็นต้น แผ่นโลหะที่นำมาลากขึ้นรูปนั้นจะเกิดการคัดผ่านปลายของพันช์ และในเวลาเดียวกัน โลหะที่อยู่ทางด้านนอกของแผ่นชิ้นงานจะเคลื่อนที่เข้าหาศูนย์กลางของแผ่นชิ้นงานเรื่อยๆ จนกระทั่งโลหะไหลไปตามรัศมีต่างๆ ของด้วย และแผ่นชิ้นงานจะเปลี่ยนรูปทรงไปจนเหมือนกับรูปทรงของเปิดของด้วย ในขณะที่โลหะที่อยู่ด้านนอกเคลื่อนที่เข้าหาศูนย์กลางแผ่นชิ้นงานจะมีความหนาเพิ่มขึ้น แต่เมื่อแผ่นชิ้นงานเคลื่อนที่ผ่านรัศมีของด้วย แรงดึงที่เกิดขึ้นระหว่างปลายพันช์กับรัศมีของด้วย (Clearance) ด้วย กรรมวิธีลากขึ้นรูปโลหะมีใช้ในการทำผลิตภัณฑ์อุปโภคและเครื่องจักรกลต่างๆ กรรมวิธีการลากขึ้นรูปแบ่งเป็น 2 วิธีคือ

- การลากขึ้นรูป (Drawing) เป็นกรรมวิธีการขึ้นรูปแผ่นวัสดุให้เกิดรูปทรง โดยใช้พันช์ ด้วย และมีตัวกดแผ่นชิ้นงานกดแผ่นวัสดุไว้ในขณะทำการลากขึ้นรูป โดยความสูงของชิ้นงานที่ได้จากการลากขึ้นรูปจะไม่นานักเมื่อเปลี่ยนเทียบกับขนาดของชิ้นงาน

- การลากขึ้นรูปลึก (Deep Drawing) เป็นกรรมวิธีการขึ้นรูปแผ่นวัสดุให้เกิดรูปทรง โดยใช้แรงกดแผ่นชิ้นงานหรือชิ้นงานที่อยู่ภายใต้แรงกด (ด้วยตัวกดแผ่นชิ้นงาน) ให้ผ่านเข้าไปข้างในหรือผ่านออกไปจากด้วยโดยใช้พันช์เพื่อทำให้เกิดรูปทรงกลวง โดยที่ความหนาของชิ้นงานที่ได้จากการลากขึ้นรูปลึกนี้จะเท่ากับความหนาเดิมของวัสดุ ความสูงของชิ้นงานที่ได้จากการลากขึ้นรูปลึก อย่างน้อยต้องมากกว่าครึ่งหนึ่งของขนาดเดิมผ่านศูนย์กลางของชิ้นงาน

ตัวแปรของการลากขึ้นรูป (Variable of Drawing)

ตัวแปรของการลากขึ้นรูปถูกจำแนกตามการวิเคราะห์ที่มี ระบบที่ใช้วิเคราะห์ตัวแปรที่ใช้ในที่นี้จะทำให้เห็นถึงการเปลี่ยนแปลงรูปของโลหะที่เป็นไปตามชนิดของตัวแปรที่ใช้หลายๆ แบบ ตัวแปรแต่ละอันจะถูกแสดงให้เห็นถึงปัจจัยที่เกี่ยวข้องด้านความเหมาะสมของวัตถุคิบที่ใช้ ด้วย เครื่องปั้นโลหะ การออกแบบแม่พิมพ์ และการควบคุมกระบวนการผลิต

1. ตัวแปรที่เกี่ยวกับการงอและทำให้ตรง (Bending and Straightening Variables)

ตัวแปรหลักที่ทำให้แรงที่ใช้ในการลากขึ้นรูปมากขึ้นหรือลดลงเนื่องจากการงอและการทำให้ตรงคือ

- รัศมีของพันช์ ได้ถูกสร้างขึ้นมาบนแท่งพันช์ขนาดรัศมีของพันช์ที่ใช้จะถูกคำนวณโดยวิศวกรทางด้านการบวนการผลิต หรือวิศวกรออกแบบด้วย รัศมีของพันช์ที่ใช้ในการลากครึ่งรูปใหม่

ครั้งสุดท้ายจะเป็นตัวกำหนดรัศมีของถ่วงที่ต้องการทำขึ้นมา ในขณะที่ทำการลากขึ้นรูปจะต้องมีการตัดแต่งส่วนโภคที่รัศมีของกายบ่อยๆ รัศมีที่เล็กกว่าจะทำให้ต้องใช้แรงในการลากอย่างสูงขึ้นเกือบทุกครั้งที่ใช้ทำให้ตรง

- **รัศมีของด้าย** ได้ถูกสร้างขึ้นมาบนแท่งด้าย มีลักษณะคล้ายกับรัศมีของพันธ์ รัศมีของด้ายจะเป็นตัวกำหนดตำแหน่งการลากรังสรรค์ของชิ้นงาน ถ้ารัศมีของด้ายเล็กไปอาจจะต้องใช้แรงในการลากขึ้นสูงกว่าเดิมที่ใช้ในครั้งแรก

- องค์ประกอบของการขึ้นรูป ตามปกติแล้วชิ้นงานจะถูกอัดขึ้นเป็นมุม 90 องศา แต่อาจจะทำให้เล็กลงหรือเพิ่มขึ้นได้ โดยทำมุมที่ผิวน้ำของด้ายกับแนวระดับ ซึ่งตามปกติแล้ววิธีการแบบนี้ไม่นิยมใช้ในการลากขึ้นรูปถ้าหากมุมของชิ้นงานได้ทำให้รัศมีของด้ายนั้นองกว่า 90 องศา จะทำให้แรงที่ใช้ในการลากขึ้นรูปลดลง ที่มุมนี้แผ่นชิ้นงานได้ถูกแผ่นชิ้นงานกดให้เป็นรูปร่างคล้ายงานก่อนที่แท่งพันธ์จะลงมาสัมผัส

2. ตัวแปรที่เกี่ยวกับการเสียดทาน (Friction Variables)

มีตัวแปรหลายอย่างที่ทำให้เกิดการเปลี่ยนแปลงของแรงเสียดทานนั่นและความเสียดทานเคลื่อน ซึ่งตัวแปรเหล่านี้จะทำให้แรงที่ใช้ปกติหรือสัมประสิทธิ์ของความเสียดทานเปลี่ยนไป ซึ่งได้แก่

- **สารหล่อลื่น** ได้ถูกนำมาใช้ที่แผ่นชิ้นงานหรือผิวน้ำก่อนที่จะลากขึ้นรูป สารหล่อลื่นที่มีคุณสมบัติลื่นตัวได้ดีจะช่วยลดความเสียดทาน สารหล่อลื่นที่มีคุณสมบัติต้านทานต่อความดันสูงได้ดีจะเพิ่มความเสียดทาน การเลือกใช้สารหล่อลื่นเป็นหน้าที่ของวิศวกรหรือหัวหน้าช่างดำเนินการผลิต

- **แรงของแผ่นยึดชิ้นงาน** เป็นแรงที่ใช้ปกติแต่จะเป็นสาเหตุให้ความเสียดทานเพิ่มขึ้นตามปกติแล้วตัวแปรนี้จะถูกควบคุมโดยผู้ตั้งค่ายหรือหัวหน้าช่างดำเนินการผลิต แต่ระบุขนาดโดยผู้ออกแบบด้วย

- **ความเรียบของผิวน้ำโลหะ** แผ่นที่นำมาใช้ขึ้นรูปทั้งสองด้าน จะระบุขนาดโดยผู้ออกแบบ ผลิตภัณฑ์ ถ้ากำหนดความหมายของผิวน้ำไว้เป็นค่าสูงจะทำให้เกิดแรงเสียดทานมากขึ้น คุณสมบัติของผิวน้ำที่ทำขึ้นโดยกระบวนการรีดขึ้นรูป เรียกว่าเทมเปอร์ (Temper) หรือ สกินพาส (Skin Pass) ความเรียบของผิวน้ำของพันธ์ ด้าย และแผ่นยึดชิ้นงาน ซึ่งได้ถูกทำขึ้นมาระหว่างการสร้างแม่พิมพ์ตามปกติแล้วจะระบุขนาดเอาไว้ในการออกแบบด้วย หลังจากที่การผลิตได้เริ่มแล้วตัวแปรนี้จะถูกควบคุมโดยแผนบำรุงรักษาด้วย

3. ตัวแปรที่เกี่ยวกับการอัด (Compression Variable)

ตัวแปรนี้มีผลกระทบการเทือนถึงแรงที่ใช้ในการบีบอัดและการยกที่จะเข้าไป การอัดนี้ต้องการใช้เพื่อลดขนาดเส้นผ่านศูนย์กลางของโลหะแผ่น โดยทำให้โลหะให้ตัวไปบนรัศมีของด้าย ตัวแปรที่เกี่ยวกับการอัด คือ

- เปอร์เซ็นต์การลดตัว (Percent of Reduction) ของเส้นผ่านศูนย์กลางหรือเส้นรอบรูป ซึ่งคำนวณได้จากการเปรียบเทียบขนาดเส้นผ่านศูนย์กลางของแผ่นชิ้นงานและเส้นผ่านศูนย์กลางของพัมพ์จากสูตร

$$\% \text{ Re} = \frac{D - d}{D} \times 100 \quad (2.46)$$

ขนาดจำลองของการลากขึ้นรูปนั้น จะอยู่ใกล้เคียงกับ $50\% \text{ Re}$ โดยผลของ $\% \text{ Re}$ มีดังนี้ ถ้าทำการลากขึ้นรูปที่ $\% \text{ Re}$ น้อย แรงที่ใช้ในการลากขึ้นรูปจะน้อยแต่ถ้าทำการลากขึ้นรูปที่ $\% \text{ Re}$ มากแรงที่ใช้ในการลากขึ้นรูปจะมาก เพราะจะอธิบายถึงปริมาณของโลหะที่จะถูกอัด ถ้า $\% \text{ Re}$ มาก ปริมาณของโลหะที่ถูกอัดก็มาก ทำให้ต้องใช้แรงในการลากขึ้นรูปมากตามไปด้วย

- ความลึกของการลากขึ้นรูปหรือความสูงของด้าย จะชี้ให้เห็นถึงความเปลี่ยนแปลงของขนาดก่อร่องที่ต้องการ ถ้าเส้นผ่านศูนย์กลางของลักษณะจากการลากขึ้นรูปไม่ถูกทำให้เปลี่ยนขนาดอีกจะเห็นว่าลักษณะนี้ความลึกกว่าต้องการแผ่นชิ้นงานที่มีขนาดใหญ่กว่า ดังนั้นปริมาณการบีบตัวที่ใช้จึงสูงกว่าในการลากขึ้นรูปครั้งแรก (First Draw) และในการลากขึ้นรูปใหม่ (Redraw) ครั้งต่อๆไป ตัวแปรนี้จะเป็นความรับผิดชอบของผู้ออกแบบด้วย แต่ถ้าเป็นการลากขึ้นรูปครั้งสุดท้ายและจะเป็นหน้าที่ของผู้ออกแบบผลิตภัณฑ์

- ความเหนียวของโลหะแผ่น หรือความสามารถในการรูปร่างโดยปราศจากการแตก แม้ว่าความเหนียว คือ การวัดคุณสมบัติได้แรงดึง แต่ันก็จะชี้ให้เห็นถึงความสามารถในการอัดและการลากขึ้นรูปด้วย ความเหนียวได้ถูกวัดโดยการทดสอบแรงดึง (Tensile Test) ในรูปเปอร์เซ็นต์รวมการยืดหยุ่นตัว การยืดหยุ่นตัวในรูปแบบเดียวกันและอัตราส่วนของการดึงต่อความแข็งแรงลักษณะนี้จะมาจากความเหนียวเป็นคุณสมบัติอย่างหนึ่งของวัสดุ ดังนั้นผู้ออกแบบผลิตภัณฑ์จะต้องระบุถึงรายละเอียดของวัสดุที่ใช้

- ความแข็งลักษณะ เป็นจุดที่แสดงให้เห็นถึงการเปลี่ยนแปลงอย่างถาวรของโลหะ ได้เกิดขึ้นความแข็งแรงลักษณะนี้เป็นสิ่งที่ต้องการของกรรมวิธีการลากขึ้นรูป เพราะจะทำให้การลากขึ้นรูปเริ่มต้นได้โดยไม่เกิดการฉีกขาดอย่างรุนแรงของโลหะที่บริเวณใกล้ดับรัศมีของด้าย ดังแปรนี้สามารถควบคุมได้โดยการตั้งมาตรฐานเฉพาะของวัสดุขึ้นมา ความแข็งสามารถที่จะทำให้ลดตัวโดยการอบคืนตัว (Anneal) แผ่นชิ้นงาน

- อัตราส่วนความหนาต่อเส้นผ่านศูนย์กลางของแผ่นชิ้นงาน (Thickness-to-Diameter Ratio) โดยจะส่งผลไปถึงแรงที่ใช้อัด อัตราส่วนของความหนาต่อเส้นผ่านศูนย์กลางของแผ่นชิ้นงานจะใช้เพื่อกำหนดความรุนแรงของการเกิดรอยย่น ซึ่งสามารถที่จะหาได้ในรูปของเปอร์เซ็นต์ ดังต่อไปนี้

ให้ t คือ ความหนาของแผ่นชิ้นงาน

D คือ เส้นผ่านศูนย์กลางของแผ่นชิ้นงาน

$$\text{จะได้ } \frac{t}{D} \times 100\%$$

เมื่อทำการคำนวณค่าที่ได้ออกมาสามารถทำนายได้ดังนี้

เมื่อ $\%t/D \leq 0.50$ รอยบ่จะเกิดรุนแรงมาก และ แรงอัดต้องถูกทำให้ลดลง แผ่นยึดชิ้นงานต้องถูกนำมาใช้ในการลากขึ้นรูป

เมื่อ $0.50 \leq \%t/D \geq 1.50$ รอยบ่จะเกิดขึ้นปานกลางและยอมให้ใช้แรงของแผ่นยึดชิ้นงานต่ำ

เมื่อ $1.50 \leq \%t/D \geq 2.50$ รอยบ่จะเกิดขึ้นน้อยมาก ถ้าแรงอัดได้ถูกทำให้ลดลงโดยการใช้พันธ์ที่มีขนาดใหญ่ขึ้น ก็ไม่จำเป็นที่จะต้องใช้แผ่นยึดชิ้นงาน

เมื่อ $\%t/D \geq 2.50$ จะไม่มีรอยบ่ปรากฏขึ้น แสดงว่าไม่จำเป็นต้องใช้แผ่นยึดชิ้นงาน ถึงแม้จะมีแรงอัดสูงมากก็ตาม

- อุณหภูมิของแผ่นชิ้นงานระหว่างการลากขึ้นรูป อุณหภูมิที่สูงขึ้นทำให้โลหะอ่อนตัวลง เป็นการลดแรงที่ใช้ในการบีบหรืออัด แต่จะไปทำให้ความแข็งแรงของโลหะแผ่นลดลง อาจจะเป็นผลทำให้เกิดการฉีกขาดได้ง่าย การแก้ไขปัญหาอันนี้ ก็คือให้ความร้อนเฉพาะบริเวณพื้นที่ของแผ่นชิ้นงานที่ถูกอัดเท่านั้น

4. ตัวแปรที่เกี่ยวกับการยึดชิ้นรูป (Stretch Forming Variables)

การยึดชิ้นรูปถือเป็นปัจจัยที่สำคัญอย่างหนึ่งของการวิธีการลากขึ้นรูป การยึดชิ้นรูปจะรวมไปถึงการเกิดการดึงในทิศทางอื่นๆ บนโลหะแผ่นด้วย โดยทำโลหะแผ่นให้มีลักษณะการเปลี่ยนแปลงแตกต่างไปจากการทดสอบแรงดึงในแกนเดียวกัน ตัวแปรที่ใช้ประเมินผลของการยึดชิ้นรูป คือ

- ค่าโอลเซ่นคัปปิ้ง (Olsen Cupping Value) เป็นค่าที่แสดงถึงระบบการกินลึกลงบนโลหะแผ่นแบบของลูกโลหะกลมจนกระแท้ โลหะนั้นเกิดการแตก ไม่มีการทดสอบการดึงลงหรือการลากลงของโลหะแผ่นลงไปในคราว มีแต่การทดสอบที่ได้จำลองการลากขึ้นรูปของโลหะเหนือปลายพันธ์ที่มีรูปร่างโค้งกลมที่ดำเนินการเริ่มต้นของการลากขึ้นรูป โลหะใดที่มีค่า Olsen สูง แสดงให้เห็นว่าการยึดชิ้นรูปของโลหะนั้นมีโอกาสที่จะประสบผลสำเร็จ

- เลขยกกำลังความเครียดแข็ง (Strain Hardening Exponent : n) เป็นเส้นลากเอียง (Slope) ของขอบเขตที่มีการเปลี่ยนแปลงอย่างถาวรของเส้นโค้งบนกราฟความดัน-ความเครียด (Stress-Strain curve) ถ้าค่า n มีค่าสูงจะทำให้โลหะแข็งตัวอย่างรวดเร็วมากระหว่างกระบวนการเปลี่ยนรูป หรืออาจจะเรียกว่า การยึดหยุ่นในรูปแบบเดียวกัน

5. ตัวแปรที่ประปันกัน (Miscellaneous Variables)

มีตัวแปรหลายอันที่เกี่ยวข้องกับการขึ้นรูปแต่ไม่สามารถจัดประเภทเอาไว้ในหัวข้อที่กล่าวมาได้ ตัวแปรเหล่านี้ ได้แก่

- ช่องว่างระหว่างพันธ์และชาย เป็นช่องว่างที่ยอมให้โลหะผ่านลงไปในด้วย ตามปกติแล้ว ถ้าโลหะที่มีความหนาถูกนำมารากขึ้นรูปขนาดช่องว่างก็ถูกทำให้ใหญ่ขึ้น ถ้าขนาดของช่องว่างเท่ากับ ความหนาของแผ่นชิ้นงานหรือน้อยกว่าจะเกิดการขัดขูหรือขัดเป็นมันเงาของโลหะเกิดขึ้นได้กับ ส่วนบนของปากถ้วยซึ่งจะทำให้ความหนาของผนังถ้วยที่ได้รับออกมากขึ้นหากดัดแปลง ถุงของถ้วยก็จะเพิ่มขึ้น ซึ่งปรากฏการณ์เช่นนี้ตรงกับความต้องการของการออกแบบผลิตภัณฑ์ แต่การ ทำเช่นนั้นอาจมีผลต่อโครงสร้างของคายที่ทำขึ้นมาได้

- ความเร็วของการลากขึ้นรูป (Drawing Speed) หรือความเร็วที่พันธ์สัมผัสแผ่นชิ้นงาน ความเร็วที่ดูนปลายนของการลากขึ้นรูปจะเป็นศูนย์เนื่องจากข้อต่อได้เคลื่อนที่สุดระยะค่าเฉลี่ยของ ความเร็วในการลากขึ้นรูปจะมีค่าเป็นครึ่งหนึ่งของความเร็วสัมผัสแผ่นชิ้นงาน ตัวแปรนี้จะควบคุมได้ ที่เครื่องปั๊มโลหะ

- อัตราส่วนของความเครียด (Strain Ratio, γ) หรือความต้านทานของโลหะแผ่นต่อความ บาง ถ้าโลหะมีอัตราส่วนของความเครียดสูง เมื่อนำไปลากขึ้นรูปจะไม่มีโอกาสสัมภากัดอีกเลย โลหะ จะถูกอัดอย่างรวดเร็ว ในทิศทางความกว้างมากกว่าความบาง ซึ่งลักษณะเช่นนี้เป็นที่ต้องการของการ ลากขึ้นรูป การควบคุมตัวแปรนี้กระทำได้โดยการบวนการรีดขึ้นรูป

2.3 ค่าความด้านทานของโลหะแผ่นต่อความยาว (Plastic Strain Ratio, r)

เป็นค่าที่แสดงถึงความสามารถของโลหะแผ่นในการขึ้นรูปให้บาง เป็นตัวแปรที่ใช้วัดคุณสมบัติความไม่เท่ากันในทิศทางต่างๆ(Anisotropy) ของโลหะแผ่น ถ้าวัสดุมีค่า r สูง แสดงว่าสามารถนำไปขึ้นรูปได้ดี เมื่อนำไปประกอบขึ้นรูปแบบจะไม่มีโอกาสสึกขาดเลย สามารถหาได้จากอัตราส่วนของความเครียดของความกว้างจริง (True width strain) กับความเครียดของความหนาจริง (True thickness strain)

$$r = \frac{\varepsilon_w}{\varepsilon_t} = \frac{\ln\left(\frac{w}{w_0}\right)}{\ln\left(\frac{t}{t_0}\right)} = \frac{\ln\left(\frac{w}{w_0}\right)}{\ln\left(\frac{l_0 w_0}{lw}\right)} \quad (2.47)$$

เมื่อ	r	คือ Plastic Strain Ratio
	ε_w	คือ ความเครียดของความกว้างจริง
	ε_t	คือ ความเครียดของความหนาจริง
	w	คือ ความกว้างสุดท้าย
	w_0	คือ ความกว้างเริ่มต้น
	t	คือ ความหนาสุดท้าย
	t_0	คือ ความหนาเริ่มต้น
	l	คือ ความยาวสุดท้าย
	l_0	คือ ความยาวเริ่มต้น

จากเงื่อนไขต่อไปนี้ ถ้า ค่า r ไม่เท่ากับ 1.00 จะแสดงพฤติกรรมการเปลี่ยนรูปถาวรที่เปลี่ยนเบนไปจากการเปลี่ยนรูปถาวรในปริมาณที่เท่ากันทุกทิศทาง (Isotropic) ซึ่งเป็นผลพวงมาจากการจัดเรียงตัวของระบบผลึกและการจัดเรียงตัวของเกรนในเนื้อโลหะ การกระจายตัวและการเรียงตัวของสิ่งแปรกปลอมและสารมลพินต่างๆ ซึ่งทำให้ความสามารถในการทนต่อแรงดึงในแนววางทิศการรีดมีค่าต่ำลง ค่า r จะแปรผันตามมุมการรีดซึ่งสามารถกำหนดค่า r เฉลี่ยได้จากสมการ

$$r_m = \frac{r_0 + 2r_{45} + r_{90}}{4} \quad (2.47)$$

เมื่อ	r_m	คือ ค่าเฉลี่ยของค่าความด้านทานของโลหะแผ่นต่อความยาว
	r_0	คือ ค่าด้านทานของโลหะแผ่นต่อความยาวที่มุน 0 องศา
	r_{45}	คือ ค่าด้านทานของโลหะแผ่นต่อความยาวที่มุน 45 องศา
	r_{90}	คือ ค่าด้านทานของโลหะแผ่นต่อความยาวที่มุน 90 องศา

ตัวเลขที่ขึ้นอยู่ของค่า r คือ ค่าที่กระทำกับทิศทางการรีด

โดยปกติความผันแปรของค่า r นั้นจะอยู่กับรูปแบบของแผ่นโลหะ ซึ่งเป็นคุณลักษณะของวัสดุที่นิยามด้วยตัวแปรที่มีชื่อว่า แพลงนาแอน ไอโซโทรปี (Planar anisotropy, Δr) ดังแสดงในสมการ

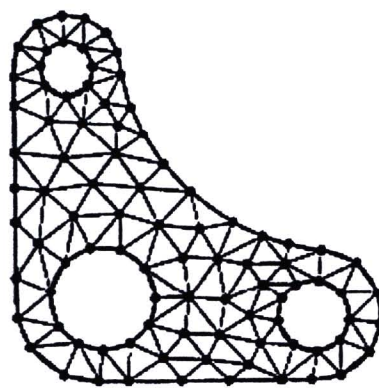
$$\Delta r = \frac{r_0 + r_{90} - r_{45}}{2} = 2(r_m - r_{45}) \quad (2.48)$$

เมื่อ Δr คือ ค่าความแตกต่างของค่าความต้านทานของโลหะแผ่นต่อความยาวแพลงนาแอน ไอโซโทรปี มีบทบาทสำคัญในการทำนายการบุดหรือเอียริง (Earing) ในขณะทำการลากขึ้นรูป กล่าวคือ หากค่าแพลงนาแอน ไอโซโทรปีมีค่ามากกว่าศูนย์ ก็จะทำนายได้ว่า เอียริงที่เกิดบริเวณขอบของชิ้นงานจะปรากฏที่มุม 0 และ 90 องศา เมื่อเทียบกับทิศทางการรีด และหากค่าแพลงนาแอน ไอโซโทรปีมีค่าเป็นลบก็จะทำให้เกิดเอียริงที่มุม 45 องศา การออกแบบเพื่อไม่ให้เกิดเอียริงนี้น้ำหนักได้โดยจะต้องทำให้ค่าแพลงนาแอน ไอโซโทรปีมีค่าใกล้เคียงศูนย์มากที่สุด

2.4 ระเบียบวิธีไฟไนต์เอลิเมนต์ [20]

2.4.1 ความเข้าใจพื้นฐาน

ในการแก้ปัญหาใดปัญหานั่น โดยปกติแล้วปัญหานั้นจะประกอบด้วยสมการเชิงอนุพันธ์ที่สอดคล้องกัน รวมทั้งเงื่อนไข ขอบเขต และเงื่อนไขเริ่มต้นที่เหมาะสมกัน ค่าการคำนวณซึ่งเป็นผลลัพธ์ที่แท้จริงของปัญหาดังกล่าว จะประกอบด้วยค่าค่าต่างๆ บนนั้นค่า แทนที่จะทำการคำนวณค่าต่างๆ จำนวนมาก ดังกล่าว ซึ่งในทางปฏิบัติจะทำไม่ได้ หลักการก็คือ ทำการเปลี่ยนค่าตัวแปรจำนวนนับนั้นค่าเป็นค่าโดยประมาณที่มีจำนวนที่นับได้ (Finite) ซึ่งมีขนาดต่างๆ กันดังตัวอย่างชิ้นงานดังรูปที่ 2.4



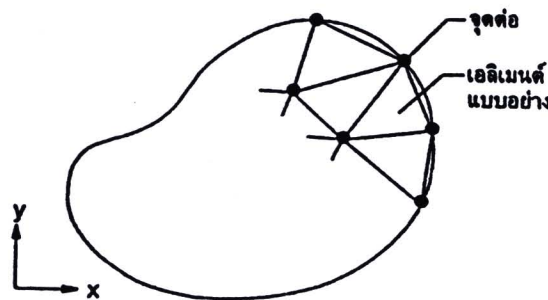
รูปที่ 2.7 การจำลองแผ่นโลหะด้วยเอลิเมนต์เพื่อการวิเคราะห์ [20]

หลักการของระเบียบวิธีไฟไนต์เอลิเมนต์จะเริ่มต้นจากการพิจารณาแต่ละเอลิเมนต์แล้วทำการสร้างสมการที่เกี่ยวข้องสำหรับแต่ละเอลิเมนต์ จากนั้นจึงนำสมการแต่ละเอลิเมนต์ประกอบเป็นสมการชุดใหญ่ คล้ายกับการนำทุกเอลิเมนต์มาประกอบรวมกันก่อเกิดเป็นรูปร่างลักษณะปัญหาทั้งหมด จากนั้นจึงทำการประยุกต์เงื่อนไขขอบเขตที่กำหนดลงในสมการชุดใหญ่นี้ แล้วจึงทำการแก้ระบบสมการตามตำแหน่งต่างๆ ของรูปร่างปัญหา ความเที่ยงตรงของผลลัพธ์ที่ได้ขึ้นอยู่กับขนาด จำนวนและรูปร่างของเอลิเมนต์ที่ใช้ในการแก้ปัญหานั้นๆ

2.4.2 ขั้นตอนทั่วไปของระเบียบวิธีไฟไนต์เอลิเมนต์

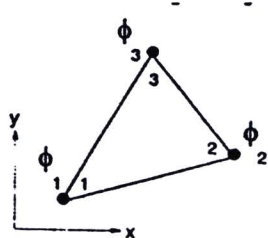
ระเบียบวิธีไฟไนต์เอลิเมนต์ประกอบด้วยขั้นตอนใหญ่ๆ ทั้งหมด 6 ขั้นตอน ดังต่อไปนี้

ขั้นตอนที่ 1 การแบ่งขอบเขต รูปร่างของปัญหาที่ต้องการหาผลลัพธ์ออกเป็นเอลิเมนต์ย่อยๆ ดังแสดงในรูปที่ 2.7 ขอบเขตดังกล่าวอาจเป็นขอบเขตของปัญหานิคต่างๆ กัน เช่น ปัญหาการเสียรูปและความเด่นที่เกิดขึ้นในของแข็ง ปัญหาการถ่ายเทความร้อนในของแข็งหรือของเหลว หรือปัญหาการไหลของของเหลว เป็นต้น



รูปที่ 2.8 การแบ่งรูปร่างของปัญหาออกเป็นเอลิเมนต์ขนาดต่างๆกัน [20]

ขั้นตอนที่ 2 การเลือกฟังก์ชันการประมาณภายในเอลิเมนต์ (element interpolation functions) ยกตัวอย่างเช่น เอลิเมนต์แบบสามเหลี่ยมในสองมิติ (เอลิเมนต์แบบอย่างดังรูปที่ 2.8) เอลิเมนต์ ดังกล่าวประกอบด้วย 3 จุดต่อที่มีหมายเลข 1,2 และ 3 ดังแสดงในรูป 2.9 โดยที่จุดต่อเหล่านี้ เป็นตัวแทนของตัวไม่รู้ค่า (nodal unknowns) ซึ่งคือ Φ_1 , Φ_2 และ Φ_3 ตัวไม่รู้ค่าที่จุดต่อเหล่านี้ อาจ



รูปที่ 2.9 เอลิเมนต์สามเหลี่ยมที่ประกอบ

ด้วย 3 จุดต่อโดยมีตัวไม่รู้ค่า
อยู่ที่ตัวแทนของจุดต่อ [20]

แทนขนาดของการเดียวกันเราแก้ปัญหา
การเดียวกันของแข็ง หรืออาจจะแทนค่าของ
อุณหภูมิหากเราแก้ปัญหาการถ่ายเทความร้อน¹
ของของเหลวหากเราแก้ปัญหาของการไหลเป็น²
ต้น ลักษณะการกระจายของตัวไม่รู้ค่าบน
เอลิเมนต์นี้สามารถเขียนให้อยู่ในรูปแบบของ
ฟังก์ชันการประมาณภายในและตัวไม่รู้ค่าที่จุด
ต่อ ได้ดังนี้

$$\Phi(x,y) = N_1(x,y) \Phi_1 + N_2(x,y) \Phi_2 + N_3(x,y) \Phi_3 \quad (2.49)$$

โดย $N_i(x,y)$, $i = 1,2,3$ แทนฟังก์ชันการประมาณภายในเอลิเมนต์

สมการ (9.1) สามารถเขียนให้อยู่ในรูปแบบของเมตริกซ์ได้ดังนี้

$$\Phi(x,y) = [N_1 \quad N_2 \quad N_3] \begin{Bmatrix} \Phi_1 \\ \Phi_2 \\ \Phi_3 \end{Bmatrix}$$

$$= [N]_{(1 \times 3)} \{\Phi\}_{(3 \times 1)} \quad (2.50)$$

โดย $[N]$ แทนเมตริกซ์แควนอน (row matrix) ของฟังก์ชันการประมาณภายในэлементъ และ $\{\Phi\}$ แทนเวกเตอร์เมตริกซ์แควตั้ง (column matrix) ที่ประกอบด้วยตัวไม่รู้ค่าที่จุดต่อของэлементъ

ขั้นตอนที่ 3 การสร้างสมการของэлементъ (element equations) ดังตัวอย่างเช่นสมการของэлементъสามเหลี่ยมในรูป 2.8 จะอยู่ในรูปแบบ ดังนี้

$$\begin{bmatrix} k_{11} & k_{12} & k_{13} \\ k_{21} & k_{22} & k_{23} \\ k_{31} & k_{32} & k_{33} \end{bmatrix}_e \begin{Bmatrix} \Phi_1 \\ \Phi_2 \\ \Phi_3 \end{Bmatrix}_e = \begin{Bmatrix} F_1 \\ F_2 \\ F_3 \end{Bmatrix}_e \quad (2.51)$$

ซึ่งเขียนย่อได้เป็น

$$[K]_e \{\Phi\}_e = \{F\}_e \quad (2.52)$$

โดยครรชนีล่าง e แสดงถึงเมตริกซ์ต่างๆนั้นเป็นเมตริกซ์ระดับэлементъ สำหรับขั้นตอนที่ 3 นี้ อาจถือได้ว่าเป็นหัวใจของระเบียบวิธีไฟไนต์элементъ ซึ่งสมการของэлементъดังกล่าว จำเป็นต้องถูกสร้างขึ้นมาให้สอดคล้องกับสมการเชิงอนุพันธ์ของปัญหาหนึ่งๆ ในหัวข้อต่อไป เราจะพบว่า สมการของэлементъนี้สามารถประดิษฐ์ขึ้นได้โดยตรงจากสมการเชิงอนุพันธ์ โดยการประยุกต์ระเบียบวิธีการถ่วงน้ำหนักเศษตกค้าง (method of weighted residuals) ซึ่งถูกจัดให้ไว้ระเบียบวิธีทั่วไปที่นิยมใช้ในการประยุกต์กับปัญหาต่างๆในปัจจุบัน

ขั้นตอนที่ 4 การนำสมการที่ประดิษฐ์ขึ้นได้จากทุกๆ элементъมาประกอบรวมกันเข้าก่อให้เกิดระบบสมการ (system of equations) ขนาดใหญ่ขึ้นดังนี้

$$\sum \text{(element equations)} \iff [K]_{sys} \{\Phi\}_{sys} = \{F\}_{sys} \quad (2.53)$$

โดยตัวห้อย sys ปั่งบอกถึงเมตริกนั้นๆเป็นเมตริกซ์ของระบบสมการรวม

ขั้นตอนที่ 5 การประยุกต์เงื่อนไขขอบเขต (boundary conditions) ลงในระบบสมการ (2.53) จากนั้นจึงแก้สมการนี้เพื่อหา $\{\Phi\}_{sys}$ อันประกอบด้วยตัวไม่รู้ค่าที่จุดต่อซึ่งอาจเป็นค่าของการเคลื่อน

ตัวเนื่องจากการเสียรูปในของแข็ง หรืออาจเป็นค่าของอุณหภูมิสำหรับปัญหาการถ่ายเทความร้อน หรืออาจเป็นค่าความเร็วของของเหลวสำหรับปัญหาของการไหล เป็นต้น

ขั้นตอนที่ 6 การคำนวณค่าที่ต่อเนื่องอื่นๆหลังจากคำนวณค่าที่จุดต่อจากขั้นตอนที่ 5 ออกมากได้แล้ว ยกตัวอย่างเช่น หลังจากรู้ค่าการเคลื่อนตัวของการเสียรูปในของแข็งกีสามารถคำนวณค่าความเครียดและความเด่นได้ หรือเมื่อรู้ค่าของอุณหภูมิที่จุดต่อต่างๆกีสามารถนำไปคำนวณหาปริมาณการถ่ายเทความร้อนได้ หรือเมื่อรู้ค่าความเร็วของการไหลกีสามารถนำไปคำนวณหาปริมาณอัตราการไหลทั้งหมดได้ เป็นต้น

2.4.3 การหาค่าความเครียดและความเก็บ

เมื่อคำนวณหาค่าการกระจายตัวของแต่ละจุดต่อออกมากได้แล้ว กีสามารถทำการหาค่าอื่นๆได้เช่น หาค่าความเก็บ ความเครียด เป็นต้น จากนั้นใช้สมการพื้นฐานทางกลศาสตร์ของแข็งช่วยในการหาคำตอบโดยประมาณต่อไป

จากขั้นตอนที่ 6 ขั้นตอนในระเบียบการทั่วไปของไฟไนต์เอลิเมนต์ จะเห็นได้ว่า ระเบียบวิธีไฟไนต์เอลิเมนต์เป็นระเบียบวิธีที่มีแบบแผนเป็นขั้นเป็นตอน โดยมีหัวใจที่สำคัญคือการสร้างสมการของเอลิเมนต์ (ขั้นตอนที่ 3) ให้สอดคล้องกับสมการเชิงอนุพันธ์ของปัญหาที่กำหนดมาให้ นั้น ส่วนขั้นตอนอื่นๆเป็นการผสานความรู้ต่างชนิดกันนับตั้งแต่ความรู้ของการประมาณค่าในช่วงซึ่งเราจะนำมาใช้เพื่อสร้างฟังก์ชันการประมาณภายในเอลิเมนต์ ความรู้ของการอินทิเกรตเชิงตัวเลขซึ่งจำเป็นต้องใช้ในการคำนวณเมตริกซ์ต่างๆของเอลิเมนต์บางชนิด รวมไปถึงการแก้ระบบสมการรวมเพื่อคำนวณหาผลลัพธ์ที่จุดต่อไป

จากการดำเนินงานพบว่า วิธีการทางไฟไนต์เอลิเมนต์ประกอบด้วย 3 ส่วนหลักใหญ่ๆ คือ

ก. ขั้นตอนของกระบวนการขั้นต้น (Pre-Processing)

เป็นขั้นตอนการสร้างลักษณะรูปร่างของปัญหาหรือจากโมเดลที่ต้องการวิเคราะห์

การกำหนดชนิดของเอลิเมนต์ คุณสมบัติของวัสดุ เงื่อนไขขอบเขตตามเดียรูปนี้การใช้งาน

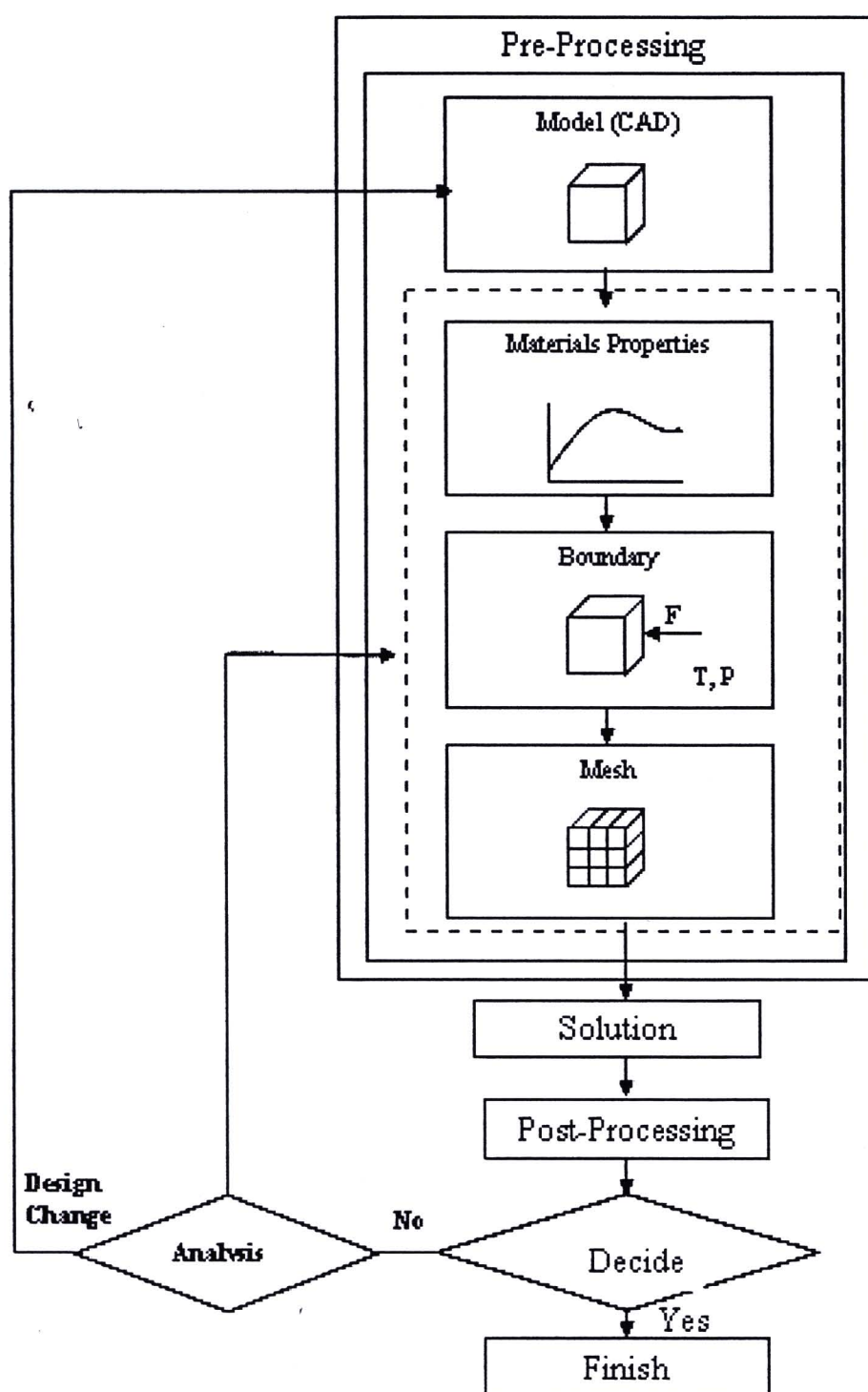
ข. ขั้นตอนการแก้ปัญหา (Solution)

ขั้นตอนนี้ถือเป็นหัวใจของโปรแกรมที่ใช้ไฟไนต์เอลิเมนต์คำนวณเพื่อหาคำตอบโดยคอมพิวเตอร์จะเป็นผู้แก้ปัญหาให้เราโดยอัตโนมัติ

ค. ขั้นตอนของกระบวนการขั้นท้าย (Post-Processing)

เป็นขั้นตอนในการแสดงผลลัพธ์ที่ได้จากการวิเคราะห์แก้ปัญหา ทำให้สามารถแสดงผลลัพธ์ให้เห็นได้หลายวิธี คือ แสดงเป็นเนคต์บันโน้มเดล แสดงผลเป็นกราฟ หรือคุณภาพเคลื่อนตัว (Displacement)

ของชิ้นงาน ทำให้เข้าใจถึงปรากฏการณ์ที่เกิดขึ้นในปัญหาได้โดยชัดเจนรวดเร็วขึ้น ดังแสดงในรูปที่ 2.10



รูปที่ 2.10 แผนผังแสดงขั้นตอนการคำนวณโดยวิธีไฟนิ有所ลิเมนต์ [20]

2.4.4 การกำหนดสมบัติของวัสดุโดยความสัมพันธ์ระหว่างความเค้นและความเครียดของวัสดุที่ทำการวิเคราะห์

สมบัติของวัสดุที่ทำการวิเคราะห์ซึ่งเป็นอยู่ในรูปของกราฟความสัมพันธ์ระหว่างความเค้นและความเครียดจริง (True stress – True strain curve) หรือเรียกอีกชื่อว่า Flow curve ซึ่งมีลักษณะเป็นเชิงเส้น (Linearity) หรือไม่เป็นเชิงเส้น (Non-Linearity) โดยมีความสำคัญในการนำมาใช้ในการคำนวณเพื่อช่วยให้คำนวณผลได้อย่างถูกต้องแม่นยำ ในกรณีของวัสดุที่มีสมบัติเชิงเส้น (Isotropy) จะมีความสำคัญในการนำมาใช้ในการคำนวณเพื่อช่วยให้คำนวณผลได้อย่างถูกต้องแม่นยำ ในการวิเคราะห์วัสดุในตัวอย่างเดียว แต่หากวัสดุมีสมบัติแบบ Anisotropy โดยที่กราฟความสัมพันธ์ระหว่างความเค้นและความเครียดจริงของวัสดุสามารถหาได้จากการทดสอบดึง (Uni-Axial tension test) หรือการทดสอบกด (Compression Test) ในกรณีของการทดสอบดึง ชิ้นทดสอบชนิดหน้าตัดกลมหรือชนิดหน้าตัดสี่เหลี่ยมจะถูกแรงกระทำโดยกระทำการดึงหรือกดเพิ่มแรงอย่างช้าๆ และควบคุมความเร็วให้ชิ้นงานทดสอบเปลี่ยนรูปอย่างสม่ำเสมอตามแนวแกน แล้ววัดค่าแรงและระยะการเปลี่ยนรูปของชิ้นงานทดสอบเกิดความเสียหายหรือขาดออกจากกัน ผลการทดสอบที่ได้จะนำไปสมบัติเชิงกลของวัสดุชิ้นทดสอบ ซึ่งความเค้นที่เกิดภายในวัสดุสามารถหาได้โดยนำแรงภายนอกในแต่ละช่วงของการทดสอบหารด้วยพื้นที่หน้าตัดเริ่มต้น

$$\sigma = \frac{F_i}{A_0} \quad (2.54)$$

โดย	F_i	คือ แรงดึงหรือโหลด
	A_0	คือ พื้นที่หน้าตัดเฉี่ยวนอกของชิ้นงานทดสอบ
	σ	คือ ความเค้นเฉลี่ยหรือความเค้นเชิงวิศวกรรม (Engineering Stress) ซึ่งมีทิศทางตั้งฉากกับพื้นที่หน้าตัด A_0

สำหรับความเครียดเชิงวิศวกรรม (Engineering Strain) สามารถคำนวณได้จากความยาวที่เปลี่ยนไปหารด้วยความยาวเดิมของชิ้นงานทดสอบ

$$\varepsilon = \frac{\Delta L}{L_0} = \frac{L_i - L_0}{L_0} \quad (2.55)$$

โดย	ΔL	คือ ความยาวที่เปลี่ยนไป
	L_0	คือ ความยาวของชิ้นงานทดสอบ
	L_i	คือ ความยาวขณะใดขณะหนึ่ง และ
	ε	คือ ความเครียดเฉลี่ย เป็นความเครียดเชิงวิศวกรรม ซึ่งมีทิศทางเดียวกับทิศทาง

ของแรง F

ความสัมพันธ์ระหว่างความเค้นและความเครียดที่ได้จากการคำนวณ โดยใช้พื้นที่หน้าตัดและความยาวเดิมของชิ้นทดสอบ เรียกว่ากราฟความสัมพันธ์ระหว่างความเค้นและความเครียดในวิศวกรรม (Engineering Stress-Strain curve) ซึ่งในการทดสอบจริงในขณะที่ระดับความเค้นในชิ้นงานทดสอบเพิ่ม เลยกความเค้นคราก σ_0 พื้นที่หน้าตัดและความยาวของชิ้นงานทดสอบจะมีการเปลี่ยนแปลงอย่างต่อเนื่อง จนเกิดการคอกดและขาดออกจากกันในที่สุด ซึ่งความสัมพันธ์ระหว่างความเค้นและความเครียด สามารถหาได้โดยใช้พื้นที่หน้าตัดและความยาวที่เปลี่ยนแปลงไปในแต่ขณะซึ่งเรียกว่า กราฟความสัมพันธ์ระหว่างความเค้นจริงและความเครียดจริง (True stress – True strain curve) หรือ เรียกอีกชื่อหนึ่งว่า Flow curve ดังรูปที่ 2.1 ซึ่งแสดงให้ทราบถึงพฤติกรรมของวัสดุในช่วงการเปลี่ยนรูปถาวร ถูกให้ $\tilde{\sigma}$ เป็นความเค้นจริง และ $\tilde{\varepsilon}$ เป็นความเครียดจริง ดังนั้น

$$\tilde{\sigma} = \frac{F_i}{A_i} = \sigma \left(\frac{A_0}{A_i} \right) \quad (2.56)$$

โดย A_i คือ พื้นที่หน้าตัดใดๆ A_0 คือพื้นที่หน้าตัดเริ่มต้น σ คือความเค้นเฉลี่ย F_i คือแรงดึงที่กระทำบนชิ้นทดสอบ

สำหรับความเครียดจริง $\tilde{\varepsilon}$ สามารถหาได้โดยพิจารณาที่ความยาวใดๆที่เพิ่มขึ้น ซึ่งหาได้จากการอินทิเกรตความยาว dL_i ได้

$$\tilde{\varepsilon} = \int_{L_0}^{L_i} \frac{dL_i}{L_i} = \ln \frac{L_i}{L_0} \quad (2.57)$$

ในกรณีการขึ้นรูปโลหะปริมาตรก่อนประหลังการขึ้นรูปจะเกิดการเปลี่ยนแปลงน้อยมาก ดังนั้นจะ สมมุติให้ปริมาตรไม่เกิดการเปลี่ยนแปลงทั้งก่อนและหลังการขึ้นรูปทำให้มีปริมาตรเท่าเดิม

$$A_0 L_0 = A_i L_i \quad (2.58)$$

$$\frac{A_0}{A_i} = \frac{L_i}{L_0} = \frac{L_0 + \Delta L}{L_0} = 1 + \varepsilon \quad (2.59)$$

ดังนั้นความเค้นจริงและความเครียดจริง หาได้โดยสมมุติฐานให้ปริมาตรก่อนและหลังการขึ้นรูปคงที่

$$\tilde{\sigma} = \sigma(1 + \varepsilon) \quad (2.60)$$

$$\tilde{\varepsilon} = \ln \frac{A_0}{A_i} = 2 \ln \frac{d_0}{d_i} \quad (2.61)$$

โดย d_i คือ เส้นผ่านศูนย์กลางใจๆ

d_0 คือ เส้นผ่านศูนย์กลางเริ่มต้นของชิ้นงานทดสอบ

สำหรับค่าขั้นตอนดูลัส E สามารถหาได้จากช่วงการยืดหยุ่นเริ่มต้นของชิ้นงาน (Elastic region) โดยการหาความชันของกราฟความสัมพันธ์ระหว่างความเค้นกับความเครียดคือ

$$E = \frac{\sigma_b - \sigma_a}{\varepsilon_b - \varepsilon_a} \quad (2.62)$$

สำหรับค่าตัวเลขยกกำลังหรือความเครียดเบี้ยง ก และค่าสัมประสิทธิ์ความเบี้ยงแรงของวัสดุ K สามารถหาได้โดยทำหารใส่ค่า log เข้าไปในสมการยกกำลังซึ่งทำให้ได้สมการใหม่คือ

$$\sigma = H\varepsilon_p^n \quad (2.63)$$

$$\log \sigma = n \log \varepsilon_p + \log H \quad (2.64)$$

โดยที่ค่าความเครียดพลาสติก ε_p สามารถหาได้คือ

$$\varepsilon_p = \varepsilon - \frac{\sigma}{E} \quad (2.65)$$

จากสมการ log ที่ได้สามารถเขียนได้ในรูปสมการเส้นตรงในแกน X และ Y ได้ เช่น $y = mx + b$ โดย $y = \log \sigma$, $x = \log \varepsilon$, $m = n$ และ $b = \log H$ สำหรับ H สามารถหาได้โดย $H = 10^b$ ดังนั้นถ้า ความจุระหว่าง $\log \sigma$ และ $\log \varepsilon$ ลงบนแกน X-Y จะได้กราฟเส้นตรงดังนั้นการหากราฟความสัมพันธ์ระหว่างความเค้นและความเครียดมีความจำเป็นเพื่อการคำนวณหาสมการคอนสติทิวทีฟ และมีความสำคัญในการกำหนดคุณสมบัติของวัสดุในแบบจำลองวิธีไฟไนต์เอลิเมนต์ไป

2.5 การเชื่อมเลเซอร์ [11]

2.5.1 ทฤษฎีและหลักการ

อะไรที่ทำให้เกิดแสงเลเซอร์ ถ้าแบ่งเตอเร่เป็นด้านกำเนิดของอิเลคตรอน (พลังงานไฟฟ้า) จากแนวคิดเดียวกันนี้ เลเซอร์นั้นมีด้านกำเนิดจาก proton (พลังงานแสง) กระแสของอิเลคตรอน จากแบงเตอเร่สามารถให้ความร้อนกับไส้หลอดไฟ การรวมกันของแบงเตอเร่ และหลอดไฟ เป็นอีกทางที่ทำให้ได้ proton ความแตกต่างระหว่าง 2 ด้านกำเนิด proton คือ proton จากแสงของไส้หลอดซึ่งเปล่งแสงแบบสุ่มในทุกทิศทาง เมื่อทำให้มันเป็นเส้นตรงโดยการผ่าน ตัวสะท้อนแสง (Flashlight reflector) จะสามารถจัดรูปแบบของแสง ทำให้เป็นลำแสงวิ่งย่างรวดเร็ว ในช่วงกว้างของความยาวคลื่น (เป็นสี) ที่เหนือจากスペกตรัม ความเข้มของระดับสีของ proton จากเลเซอร์ที่ปล่อยออกมานี้ ความแน่นอนในแนวนานา กับลำแสง ซึ่งขนาดลำแสงทั้งหมดจะมีความยาวคลื่นเหมือนกันนี้ เรียกว่า การติดกันของลำแสง (Coherent beam) อย่างไรก็ตาม การเกิด การติดต่อ ของลำแสงมันไม่สามารถ เป็นไปได้ แต่จำนวนของ แสงที่ติดต่อกัน ขึ้นกับความแคบของบริเวณความยาวคลื่น และนานา กับทางเดินของแต่ละ proton หนึ่งในคุณสมบัติการสร้างเลเซอร์คือ มีมูลค่า และ ต้องทำบัญชีรายรับ ทุกความยาวคลื่นที่เหมาะสมในแต่ละงานซึ่งแตกต่างกันออกไป ในการอธิบายลักษณะความสัมพันธ์ ระดับอนุภาค ระหว่าง ความถี่, เพส, แอมเพลจูด และทิศทาง ความแตกต่างของลำแสงแต่ละส่วน จะเสริมกันเมื่อเป็นเฟสเดียวกันกัน แต่จะหักล้างกันเมื่อเป็นเฟสตรงข้ามกัน ซึ่ง coherence จะเป็น ตัวกำหนดสมบัติให้เหมือนกัน เมื่อสีของลำแสงเป็นสีเดียวกัน

การส่งคำสั่งให้หดตัว หรือรักษาความยาวของลำแสงในแต่ละครั้ง โดยแสงแฟลช ใจกลางของสีให้มี ความแตกต่างกัน ทำให้สามารถใช้ได้หลายช่องทาง (Channel) มากกว่าเส้นทางของลำแสงแบบเดิม อย่างไรก็ตาม การใช้งานที่มากกว่า 10 สีจะยากสำหรับแต่ละตัวรับที่จะแยกลักษณะให้ได้ตามคำสั่งที่ต้องการ แต่สำหรับเลเซอร์ แทนเนลแยกได้ชัดเจนถึง 1000 แทนเนล ซึ่งสามารถเปลี่ยนได้มากกว่า เมื่อสีที่ได้จากการแยกสีของปริซึม

เมื่อมีความต้องการพลังงานสูงเพื่อที่จะเชื่อมวัสดุ ลำแสงจะถูกปรับไฟกัสให้เล็กที่สุดเท่าที่จะเป็นไปได้เพื่อให้บริเวณนั้นไม่มีพลังงานตกค้าง ถ้าพลังงานที่ต้องการจะถูกระบุโดยเฉพาะตามช่วง ความยาวคลื่น ยกตัวอย่าง เช่น ความกว้าง 1 \AA ($1 \text{ \AA} = 10^{-10} \text{ m}$) ลำแสงสีเดียวที่ต้องใช้พลังงานหลายพัน วัตต์ต่อตารางเซนติเมตร ใน แบบวิทยุ 1 \AA

เลเซอร์คือส่วนหนึ่งของแสงที่ผ่านภาคขยาย โดยจะถูกกระตุ้น ให้มีการเปล่งรังสีออกมานอก ห้องทดลอง ให้เข้าสู่กระบวนการขยายตัวของแสง ได้ร่วมกับ เครื่องขยายสัญญาณเข้าที่มีกำลังน้อย ให้ออกมาเป็นสัญญาณขนาดใหญ่ เพื่อให้ได้ยิน ในเครื่องขยายเสียงเป็นการทำงานอัตโนมัติ ด้วยทรานซิสเตอร์ หรือ ท่อสูญญากาศ ซึ่งในลักษณะนี้เรียกว่า เกรน (Grain) นั่นหมายความว่า อิเลคตรอนที่มีกระแสมาก จะไหลผ่านท่อทาง ถ้าก

ริด หรือมีการกระตุ้นแรงดันไฟฟ้าเพียงเล็กน้อย ในทำนองเดียวกัน การขึ้น-ลงเพียงเล็กน้อยที่เกิดในแรงดันกริด แต่จะทำให้เกิดการขึ้น - ลง ของกระแสมาก่อนผ่านท่อทาง ความยากอยู่บ้างเวลา ที่ต้องการจะปรับคลื่นในการรับฟังการกระจายเสียงของสถานีวิทยุ ให้เสียงคมชัด และจัดการให้ปราศจากเสียงรบกวนจากคลื่นในความถี่ใกล้เคียงกัน จากตัวอย่างนี้แสดงให้เห็นถึงความสำคัญ สำหรับการขยายสัญญาณที่ความถี่แคบ ซึ่งมีความพยายามที่จะทำให้มีการปรับหาคลื่นให้มีความ คมชัด มีคลื่นรบกวนน้อย ในปี 1954 มีการนำการส่งคลื่นวิทยุอย่างแรง (Maser) ของการขยายคลื่น ระดับไมโคร โดยการกระตุ้นการเปล่งรังสี หลักการของคลื่นวิทยุอย่างแรง คือการขยายสัญญาณของ คลื่นที่มีความยาวคลื่น ที่สั้นกว่าอุอกไปให้มากๆ

นีออน หรือแสงฟลูออเรสเซนท์ เมื่อเป็นแหล่งพลังแสง นั้นเหมือนกับเลเซอร์แต่ ปราศจากเกรน ซึ่งสมบัติของเลเซอร์ นีออนเป็นก๊าซที่ถูกเติมเข้าไป ให้มีสีที่คมชัด และมีสีแดงที่ปลาย ของ optical spectrum หม้อแปลงจะก่อให้เกิดไฟฟ้า ซึ่งเป็นอิเลคตรอนที่ปล่อยออกมานะ เร่งปฏิกิริยา กับ อะตอมของก๊าซให้มีพลังงานอยู่ในระดับสูง การที่มีตัวเร่งอะตอมของก๊าซเหลืออย ทำให้เกิดการเปล่ง พลังงานในรูปของ โปรตอน ซึ่งเป็นพลังงานแสง การเกิดปฏิกิริยา เช่นนี้กับก๊าซทำให้การรวมกลุ่ม ของแสงที่เปล่งออกมานะ การคุณภาพ และ กระตุ้นให้เปล่งแสงในบางครั้ง สามารถเกิดขึ้นได้ด้วยตัวเอง แบบไม่เป็นระเบียบ แต่หลอดนีออนจะไม่มีเกรนซึ่งจำเป็นสำหรับการใช้ขยายคลื่นแสง

เกรนสามารถจัดเตรียมได้ในแก๊ส โดยเลือกกระตุ้นอะตอมเพื่อให้ระดับพลังงานของการ เปลี่ยนรูปเพิ่มขึ้นจากพลังงานระดับต่ำ ซึ่งจะกระตุ้นพลังงานอย่างรวดเร็วจนมีระดับพลังงานต่ำที่สุด โดยธรรมชาติ อะตอมสามารถถูกกระตุ้นอย่างต่อเนื่องเพื่อให้ระดับพลังงานสูงดังนั้นจะมีปริมาณ อะตอมที่มีระดับพลังงานสูง เพราะฉะนั้นที่สภาวะนี้แก๊สที่ออกมานะจะอยู่ในสภาวะสมดุล เรียกว่า การ สลับประชากร (Population inversion) และสภาวะนี้จะทำให้เกิดเกรนในแก๊สในระดับปานกลาง เมื่อ สภาวะของการสลับประชากรคือผลที่เกิดจากการกระตุ้นภายนอกของเลเซอร์ระดับปานกลาง โดยทั่วไปเรียกว่า การปั๊ม (Pumping) และอาจเป็นผลมาจากการอปติก และอิเล็กทรอนิกส์

เมื่อโปรตอนที่เปล่งพลังงานด้วยตัวเอง (อยู่ระหว่างพลังงานระดับสูง และต่ำ) จะกระแทกกับ โนมเลกุลในระดับพลังงานสูง ซึ่งกรีฟฟ์กันเป็นตัวกระตุ้นการเปล่งแสงของโปรตอนตัวอื่นๆ ซึ่งใน การกลับมากระตุ้นการเปล่งแสงจากการชนกันของโนมเลกุลที่ตำแหน่งระดับพลังงานสูง ทุกครั้งที่มี การกระตุ้นโปรตอนให้เปล่งแสงมีทิศทางแน่นอนในทิศทางเดิม จะทำให้ความถี่ที่ได้เหมือนกันใน ท้ายที่สุด การจัดเรียงเพื่อโปรตอนจะทำให้ได้แสงของ ลำแสงที่ติดต่อกัน โดยแสงจะถูกขยายด้วยการ กระตุ้นของรังสี

การจัดเรียงโปรตอนที่ออกมานะ ลำแสงที่ออกมานะถูกขยายพลังงานโดยการกระตุ้นการ เปล่งแสง ในการสร้างการจัดเรียงโปรตอนนี้ สามารถทำได้ภายใน ช่องเรโซแนนท์ (Resonant cavity) ซึ่งทำหน้าที่คล้ายกับภาคขยาย โดยรังสีที่ผ่านจะเป็นเลเซอร์ระดับปานกลาง

เลเซอร์เกิดจากปฏิกิริยาของอะตอม ซึ่งถูกกระตุ้นให้มีระดับพลังงานสูงขึ้น ส่วนเหล่าจ่ายที่ปั้นให้ จะทำให้เกิดการกระตุ้นปฏิกิริยาของอะตอม และช่องเร โซแนนท์เพื่อเตรียมรับผลกระแทกจาก การสั่นของเลเซอร์ สิ่งนี้คือเครื่องมืออิเลคทรอนิกส์ที่เปลี่ยนพลังงานไฟฟ้า เป็นพลังงานไฟฟ้า แม่เหล็ก

2.5.2 ตัวแปรสำคัญ

3 ตัวแปรสำคัญที่เป็นปัจจัยสำคัญของเลเซอร์ คือวัสดุที่เหมาะสม, แหล่งพลังงาน (ปั้น) ที่เหมาะสม และการออกแบบเพื่อเสริมการกระตุ้นการปล่อยพลังงาน

2.5.3 วัสดุเลเซอร์

ความต้องการของวัสดุที่ประกอบกันเป็นเลเซอร์ เป็นศักยภาพที่เข้มข้นในการถูกกระตุ้นให้ ปล่อยพลังงาน ซึ่งวัสดุนั้นควรต้องมีสมบัติต่างๆ นี้

- จะต้องเป็นวัสดุที่เรืองแสงเมื่อถูกกระตุ้นโดย ออปติคอล ไฟฟ้า ความถี่วิทยุ หรือ หรือ พลังงานแบบอื่นๆ
- การเปล่งแสงที่ส่งถ่ายจะต้องเปล่งแสงได้ด้วยตัวเองเป็นระยะเวลานาน
- สมบัติการคุกชับ วัสดุจะต้องคุกชับพลังงานที่กระตุ้นได้ดีสามารถผลิต และปล่อยพลังงาน ระดับสูงให้มีจำนวนมากๆ ได้
- เลนซ์ต้องมีคุณภาพดีเพียงพอ เช่น ไม่มีรอยขีดข่วน จนทำให้ทำให้ล้าแสงที่ปล่อยออกมามาไม่ สมบูรณ์

อุปกรณ์และแก๊สที่จำเป็นต้องใช้ในงานเชื่อมเลเซอร์แบบต่างๆ แสดงในตารางที่ 2.1

ตารางที่ 2.1 เลเซอร์สำหรับเชื่อม

Laser	Operation	Pulse length	Pulse energy	Peak power	Max weld thickness*		Speed of welding	
		ms	J	W	in	mm	in/min	mm/s
Ruby	Pulsed	3-10	20-50	1-5k	0.005 to 0.020	0.13 to 0.50	3.0	1.2
Nd :glass	Pulsed	3-10	20-50	1-5k	0.005 to 0.020	0.13 to 0.50	1.5	0.63
Nd : yag	Pulsed	3-10	10-100	1-10k	0.005 to 0.025	0.13 to 0.60	5.0	2.1
CO ₂	Pulsed	5-20	0.1-10	1-5k	0.025	0.13	3.0	1.2
Nd : yag	CW			1000	0.150	3.81	30.0	12.7
CO ₂	CW			1000	0.025	0.60	30.0	12.7
Gas dynamic	Cw			20k	0.750	19.0	50.0	21.2

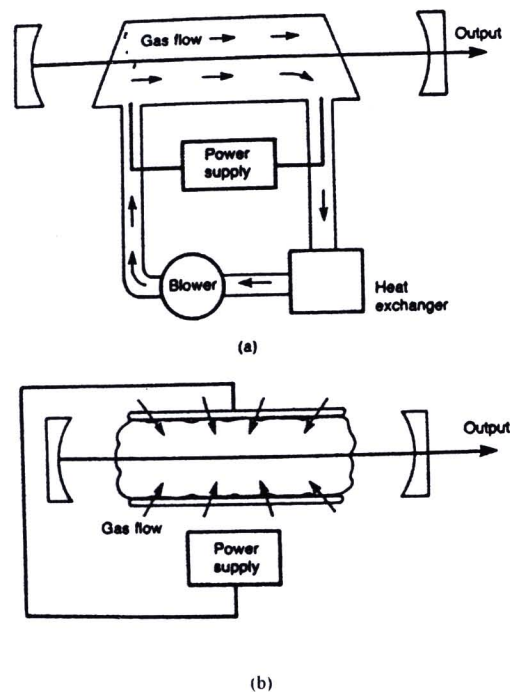
* Maximum thickness given here is for 304 stainless steel

แบบของเลเซอร์ระดับปานกลางนั้น เป็นแบบแกนคริสตัลเดี่ยวของ อิตเรียม -อลูมิnum โกลเมน (Yttrium-aluminum garnet หรือเรียกสั้นๆว่า yag) ซึ่งบรรจุไปด้วย ไอออน ของ นีโอดีเมียม (Neodymium) neodymium-doped yag (Nd : yag) มีการเปลี่ยนมาใช้มากในวัสดุอื่นๆ สำหรับ การใช้งาน เลเซอร์คริสตัลที่ใช้พลังงานสูง เนื่องจากวิธีนี้ให้อัตราพัลส์ (Pulse rate) สูง ทำให้ประสิทธิภาพ สูงตามไปด้วย และยังสามารถใช้งานกับระบบหล่อเย็นแบบธรรมดาก็ได้

อาร์กอน, ไฮเดรียม, คริฟตอง, นีโอน, ออกซิเจน และชีนอน เป็นสารที่ทำให้เลเซอร์ออกมายield คาร์บอนไดออกไซด์, ไฮโดรเจน และไนโตรเจน เป็นตัวสร้างการเปล่งแสงเลเซอร์ ออกซิเจน จะถูกใช้ในการผสมของอาร์กอน หรือ นีโอน นีโอนจะสร้างแสงเลเซอร์ได้ทั้งแบบใช้ แก๊สเดี่ยว หรือ ใช้การผสมของ ไฮเดรียมกับนีโอน ส่วน อาร์กอน, คริฟตอง และ ชีนอน จะใช้แบบแก๊สเดี่ยวล้วนๆ

การเชื่อมเลเซอร์แบบ CO₂ จริงแล้วใช้การผสมของแก๊ส 3 ชนิดคือ คาร์บอนไดออกไซด์ ไฮเดรียม และไนโตรเจน เพื่อให้ได้พลังงานสูง คาร์บอนไดออกไซด์เป็น ส่วนหลักที่จำเป็นในการ

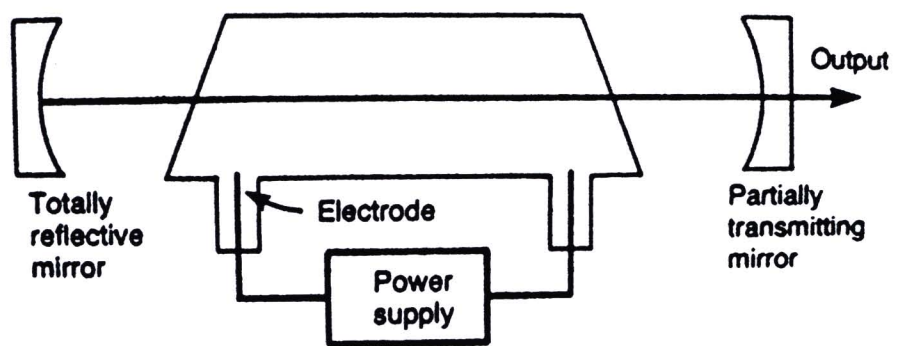
สร้าง proton ส่วนในโตกเจนช่วยเสริม และชีเลียมช่วยในการหล่อเย็น ในการให้ของระบบเรื่องแบบนี้ จะเป็นแก๊สให้ผ่านช่องเรโซแนนท์ ก่อนส่งไปยังทางออกของเลเซอร์ แสดงในรูปที่ 2.8 ข้อดีของระบบนี้คือ แก๊สจะมีความถี่สม่ำเสมอ และแรงที่ได้จะเป็นต่ำเดียวกันแต่ประสิทธิภาพค่อนข้างมากกว่า 10% ในสภาวะของแข็ง (Solid state) จะมีประสิทธิภาพมากขึ้น (เพิ่มมากขึ้นถึง 10%) แต่ส่วนใหญ่กลืนจะเคลื่อนตัวแบบไม่ต่อเนื่อง ซึ่งเทคนิคที่ทำให้กลืนเคลื่อนที่อย่างต่อเนื่องคือเครื่องเรื่องเรื่องเลเซอร์แบบ Nd:yag



รูปที่ 2.11 การให้เวียนแก๊สของระบบเลเซอร์ (a) Axial flow (b) Cross

2.5.4 พลังปั๊ม

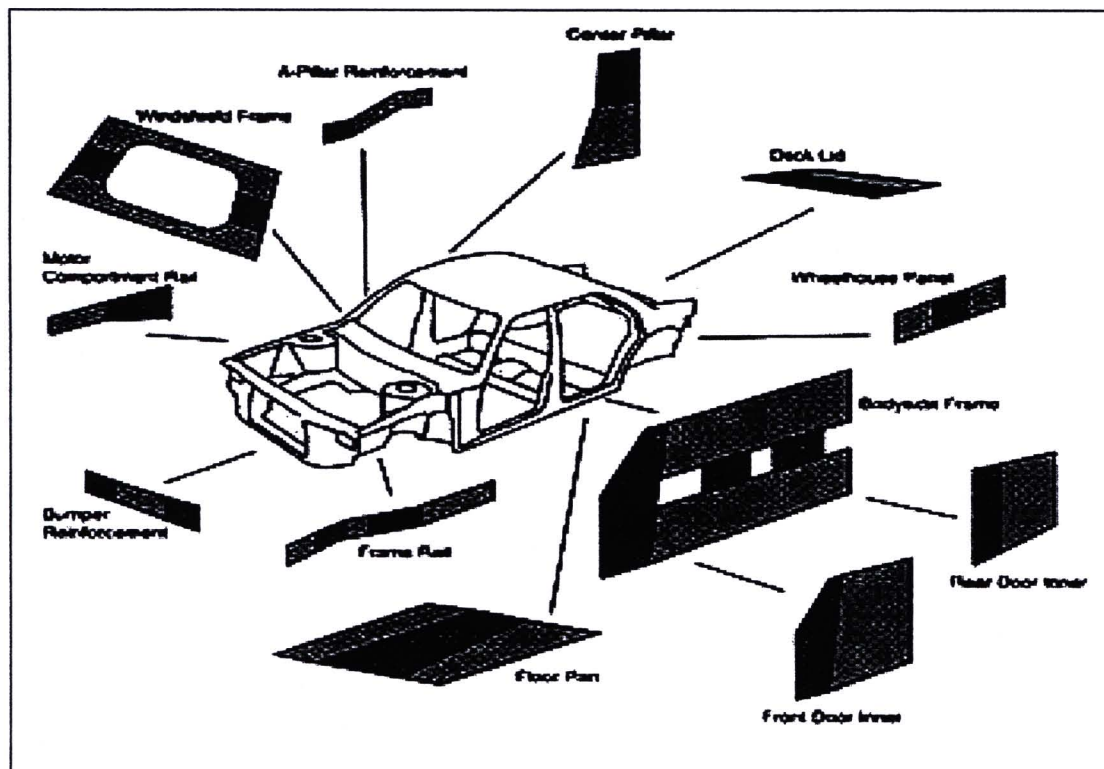
ปัจจัยที่สำคัญอื่นๆ คือพลังปั๊มที่ให้กับเลเซอร์ เป็นตัวแปรใหญ่สำหรับ ความแรงและระยะเวลาของลำแสงที่ออกมานในการใช้งาน ในสภาวะของแข็ง ของเลเซอร์ จะมีการปั๊มโดยไฟแฟลช ออยู่ในช่องสะท้อนแสง ซึ่งบรรจุแท่งเลเซอร์ โดยในโคมไฟแฟลชจะบรรจุด้วยแก๊ส ชีน่อน (Xenon) หรือ ครีพต่อน (Krypton) โดยปกติจะถูกปั๊มด้วย การปล่อยแบบไฟฟ้า (Electric discharge) ในหลอดแก๊ส ซึ่งรูปร่างโดยปกติของตัวส่งจ่ายไฟฟ้าที่ใช้งานโดยอิเล็กโทรด (Electrodes) แสดงในรูปที่ 2.9 ซึ่งเป็นวิธีหนึ่งในการจัดเรียงลำแสงอิเลคตรอน แบบพิเศษที่ใช้ในกระบวนการผลิต



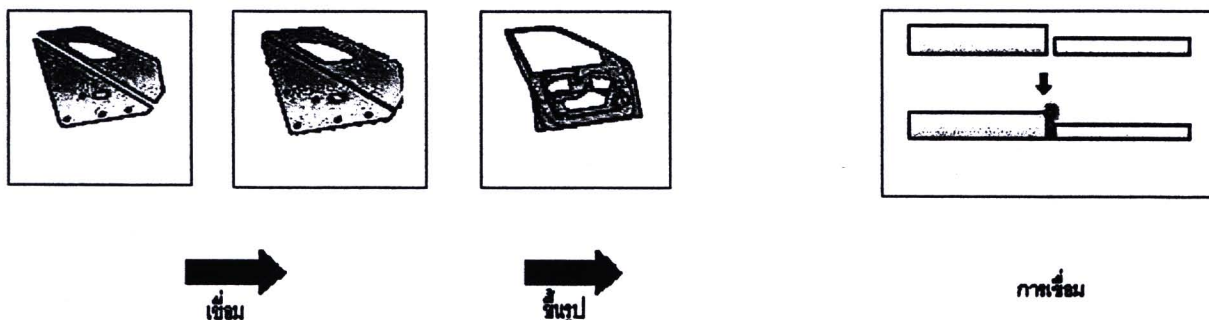
รูปที่ 2.12 Sealed-tube ของระบบเดเซอร์

2.6 แผ่นเชื่อมพ่วง (Tailor Welded Blank) [21]

แผ่นเชื่อมพ่วงเป็นกระบวนการผลิตชิ้นส่วนยานยนต์โดยนำเหล็กแผ่นที่มีความหนาแตกต่างกัน รวมไปถึงเหล็กที่มีคุณสมบัติหรือข้อเคลือบที่ต่างกันมาเชื่อมต่อให้เป็นเหล็กแผ่นชิ้นเดียวกันก่อนที่จะนำไปทำการขึ้นรูป แนวคิดในการรวมเหล็กประเภทต่างๆเข้ามาเป็นแผ่นเดียวกันด้วยการเชื่อม ถูกพัฒนาเพื่อผลิตผลิตภัณฑ์ทางวิศวกรรม โดยนำเหล็กที่มีคุณสมบัติแตกต่างกันมาต่อให้อยู่ในบริเวณที่เหมาะสมที่สุดเพื่อผลิตให้ได้ผลิตภัณฑ์ที่มีสมบัติที่สุด วิธีนี้ไม่เพียงแต่จะช่วยลดน้ำหนักของชิ้นส่วนให้ลดลง แต่ยังช่วยให้สามารถผลิตชิ้นส่วนได้โดยลดการใช้อุปกรณ์ยึดต่างๆ ด้วยกระบวนการนี้ถูกนำมาใช้และพัฒนาอย่างแพร่หลายในอุตสาหกรรมยานยนต์ โดยมีแรงผลักดันมาจากข้อบังคับทางด้านสิ่งแวดล้อม ความปลอดภัย และการอนุรักษ์พลังงาน ซึ่งต้องการให้ออกแบบรถยนต์ที่มีน้ำหนักเบา เพื่อประหยัดพลังงาน และก่อให้เกิดความน้อยลง พร้อมกับการปรับปรุงโครงสร้างของตัวรถให้มีความปลอดภัยยิ่งขึ้น ตัวอย่างชิ้นส่วนที่ผลิตมาจากการ TWB ได้แก่ body side frames, door inner panels, motor compartment rails และcenter pillar inner panels เป็นต้น



รูปที่ 2.13 ตัวอย่างงาน และชิ้นส่วนที่นิยมทำแผ่นเชื่อมพ่วง [21]



รูปที่ 2.14 ตัวอย่างการใช้งาน TWB ในชิ้นส่วนต่างๆ ของรถยนต์ [21]

2.6.1 ข้อดีของ Tailor Welded Blank

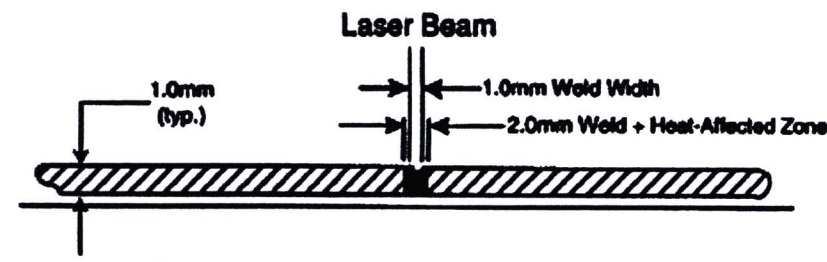
- ลดน้ำหนักโดยรวมของรถยนต์
 - สามารถเลือกใช้เหล็กที่มีความหนาต่างกันได้ในการผลิตชิ้นส่วนชิ้นเดียวทำให้ลดน้ำหนัก
 - ผู้ออกแบบสามารถกำหนดให้ใช้เหล็กหนาได้เฉพาะในบริเวณที่ต้องการให้มีคุณสมบัติทนต่อการกระแทกที่ดี
 - การเปลี่ยนแปลงการออกแบบทางวิศวกรรม สามารถทำได้โดยเปลี่ยน sub blank
- ต้นทุนการผลิตต่ำลง
 - สามารถใช้วัสดุที่มีคุณสมบัติตามต้องการได้ในจุดที่ต้องการ
 - คุณภาพรวมของ TWB สามารถควบคุมได้จาก sub blank ที่ประกอบเข้าเป็น TWB
 - ลดจำนวนการใช้แม่พิมพ์ในการขึ้นรูปเหล็กแผ่น
 - ลดจำนวนอุปกรณ์ที่ใช้ในการเชื่อมต่อ
 - ความยืดหยุ่นในการผลิตสูง สามารถออกแบบผลิตภัณฑ์ได้หลากหลายมากขึ้น

2.6.2 วิธีการเชื่อมเหล็กแผ่นสำหรับ TWB

วิธีการเชื่อมในการผลิต TWB มีอยู่ 4 วิธี ได้แก่ Laser beam butt welding, Resistance seam welding, High-frequency induction และ Electron beam welding ซึ่ง 2 วิธีแรก เป็นการเชื่อมที่มีการใช้แพร่หلامากที่สุด โดยแต่ละวิธีจะมีความแตกต่างกันดังนี้

1. Laser beam butt welding

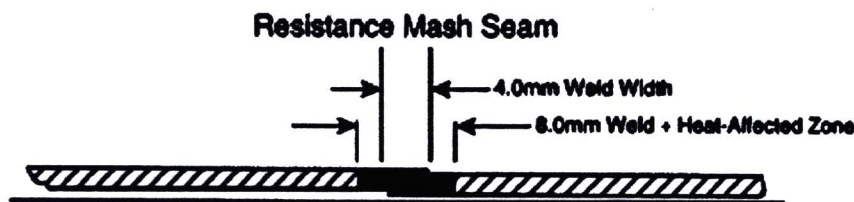
เป็นการเชื่อมแบบเต็ม (full-penetration) ซึ่งสามารถเชื่อมให้ได้รอยเชื่อมที่มีอัตราส่วนของความลึกต่อความหนาสูง ดังนั้นวิธีนี้จึงสามารถเชื่อมได้แนวเชื่อมที่ลึก และแคบ นอกจากนี้อัตราการเย็นตัวของแนวเชื่อมที่สูงมาก ทำให้ได้ความแข็งของรอยเชื่อมที่สูงกว่าการเชื่อมคัวหิวิช resistance mash seam weld และความคุณภาพเชื่อมได้อย่างแม่นยำ



รูปที่ 2.15 การเชื่อมแบบ Laser beam butt welding [21]

2. Resistance mash seam welding

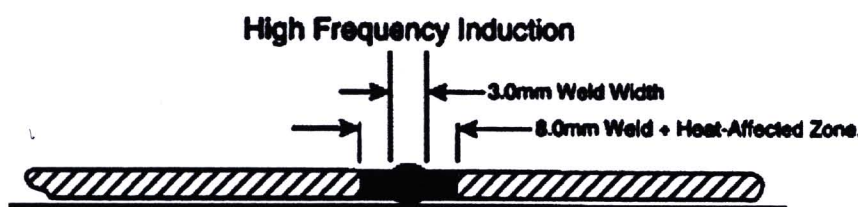
เป็นกระบวนการเชื่อมโดยใช้ลูกริบ (ต้องอาศัยรอยเชื่อมที่ต่อเหลี่ยมกัน) ขัดเนื้อเหล็กเข้าด้วยกัน ขณะที่ปล่อยให้กระแสไฟฟ้าไหลผ่าน วิธีนี้เป็นการเชื่อมในสภาพของแข็ง (solid-state) วิธีนี้จะได้แนวเชื่อมที่กว้างกว่าการเชื่อมด้วยเลเซอร์เล็กน้อย วิธีเชื่อมแบบนี้จะใช้กับการผลิตยนต์ในยุโรปของ Volkswagen, Volvo, SEAT, ฯลฯ



รูปที่ 2.16 การเชื่อมแบบ Resistance mash seam welding [21]

3. High-frequency induction

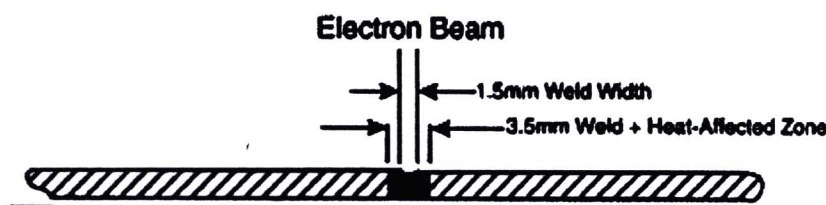
เป็นการเชื่อมแบบต่อชน (butt-upset weld) ซึ่งพัฒนาโดยบริษัท Volvo ใช้สำหรับเชื่อมงานเหล็กแผ่นปัจจุบันมีการใช้สำหรับงานเชื่อมที่มีความยาวของแนวเชื่อมสูงสุด 1 เมตร รอยเชื่อมที่ได้จะมีความหนาสูงกว่าความหนาของเหล็กแผ่นประมาณ 50 % ซึ่งต้องทำการขัดออกภายหลังการเชื่อม การเชื่อมทำโดยนำเหล็กแผ่น 2 แผ่นมากดเข้าหากันตรงขอบด้วยชีคตลอดแนวความยาวของเหล็กแผ่น และหน้าสัมผัสของชิ้นงานจะถูกกดด้วยแรงอัดในระหว่างการเชื่อม ซึ่งเหล็กจะหลอมติดกัน



รูปที่ 2.17 การเชื่อมแบบ High-frequency induction [21]

4. Electron beam welding

เป็นการเชื่อมแบบหลอมละลายเช่นเดียวกับวิธีอื่นๆ โดยทั่วไปใช้กำลังไฟฟ้าประมาณ 25 - 35 กิโลวัตต์ วิธีนี้เหมาะสมสำหรับการเชื่อมวัสดุที่มีขนาดหนาๆ และเดเซอร์ พบว่า Electron beam welding สามารถเชื่อมได้โดยที่มีระยะห่างของแผ่นโลหะ (Gap) มากกว่า การเชื่อมด้วยเดเซอร์เดือนี้อยู่นอกจานนี้ยังทำการเชื่อมได้เร็วกว่า และกระแสของอิเล็กตรอนก็ควบคุมได้ง่ายกว่า อย่างไรก็ตาม ข้อจำกัดที่สำคัญของ Electron beam welding คือ จำเป็นต้องมีอุปกรณ์ป้องกันการแพรังสีจากรังสีเอ็กซ์ที่เกิดขึ้นในระหว่างการเชื่อม



รูปที่ 2.18 การเชื่อมแบบ Electron beam welding [21]

2.7 งานวิจัยที่เกี่ยวข้อง

Brad Kinsey และคณะ., 2001[12] ได้ทำการศึกษาการขึ้นรูปวัสดุอลูมิเนียมชนิดเชื่อมพ่วง โดยใช้แผ่นชิ้นงานอลูมิเนียม Al 5182-H00 ที่มีความหนา 1.0 และ 2.0 มิลลิเมตร มาเชื่อมต่อกันด้วย YAG laser จากนั้นนำมาทำการทดสอบความสามารถในการขึ้นรูป โดยใช้การทดสอบแบบ Limit Dome Height พบว่า สามารถเพิ่มความลึกของการลากขึ้นรูปได้ 22 เปอร์เซ็นต์ ลดความเครียดในแนววางแนวเชื่อมของวัสดุที่บางกว่าได้มากกว่า 40 เปอร์เซ็นต์ และลดการเคลื่อนที่ของแนวเชื่อมได้ 44 เปอร์เซ็นต์

Abdullah และคณะ., 2001[13] ศึกษาเกี่ยวกับคุณสมบัติของรอยเชื่อมเพื่อวิเคราะห์ถึงผลกระทบของรอยเชื่อมที่มีผลต่อความสามารถในการขึ้นรูปของแผ่นเชื่อมพ่วง ผลจากการทดลองพบว่ารอยแตกร้าวเกิดขึ้นบนชิ้นงานในส่วนของวัสดุที่อ่อนแอกว่า ซึ่งอยู่ในบริเวณใกล้กับรอยเชื่อม สรุปได้ว่ารอยเชื่อมไม่ใช่ปัจจัยหลักที่มีผลต่อความสามารถในการขึ้นรูปของแผ่นเชื่อมพ่วง

Sadok Gaied และคณะ., 2008[14] ได้ทำการทดสอบความสามารถในการขึ้นรูปของแผ่นเชื่อมพ่วง โดยแบ่งชิ้นงานออกเป็น 3 แบบ ได้แก่ 1) ความหนาของวัสดุต่างกัน (Mild steel ความหนา 0.8 mm. เชื่อมต่อกับความหนา 1.5 mm.) 2) ชนิดของวัสดุต่างกัน (Mild Steel ความหนา 1.2 mm. เชื่อมต่อกับ HSLA ความหนา 1.2 mm.) 3) หัวชนิดและความหนาของวัสดุต่างกัน (Mild Steel ความหนา 0.8 เชื่อมต่อกับ HSLA ความหนา 1.2 mm.) โดยใช้การทดสอบแบบ Nagazima Test จากการทดสอบพบว่าชิ้นงานจะเกิดการแตกในส่วนของวัสดุที่อ่อนแอกว่าและเกิดในบริเวณที่ใกล้กับรอยเชื่อม

Zhao และคณะ., 2001[15] ได้ศึกษาเกี่ยวกับการใช้ระเบียบวิธีไฟไนแอลิเมนต์ ในการวิเคราะห์การขึ้นรูป วัสดุชนิดเชื่อมพ่วง เพื่อเปรียบเทียบความแม่นยำของโมเดลที่ใช้ในการวิเคราะห์ไฟไนแอลิเมนต์ โดยใช้แผ่นชิ้นงาน SPCEN ที่มีความหนา 0.8 มิลลิเมตร และ SPRC ที่มีความหนา 1.4 มิลลิเมตร มาเชื่อมต่อกันด้วย CO₂ Laser และนำมายืนยันว่า ทำการทดสอบความสามารถในการขึ้นรูป จากนั้นจึงนำผลที่ได้จากการทดสอบมาใช้เป็นข้อมูลในการวิเคราะห์ทางไฟไนแอลิเมนต์ พบว่าการใช้ 3D Shell element จะใช้เวลาในการประมวลผลน้อยกว่าแล้วมีความถูกต้องแม่นยำมากกว่าเมื่อเปรียบเทียบการใช้ 3D Solid element

Chan และคณะ., 2003[16] ได้ทำการศึกษาผลกระทบของอัตราส่วนของความหนาที่แตกต่างกันของวัสดุชนิดเชื่อมพ่วงที่มีผลต่อ Forming Limit Diagram โดยใช้แผ่นชิ้นงาน PPCC (Cold-rolled) ที่มีความหนา 0.5, 0.6, 0.8 และ 1.0 มิลลิเมตร มาเชื่อมต่อกันด้วย Nd : YAG laser โดยให้มีอัตราส่วนของความหนาเท่ากับ 2(0.5/1.0), 1.67(0.6/1.0), และ 1.25(0.8/1.0) และนำมายืนยันว่า การทดสอบความสามารถในการขึ้นรูปพบว่า ระดับของ FLC จะลดลงเมื่ออัตราส่วนของความหนาเพิ่มขึ้น